



VISTE



Area di posizionamento dell'aerogeneratore BT07



Area di posizionamento dell'aerogeneratore BT07



(immagine Google Earth)

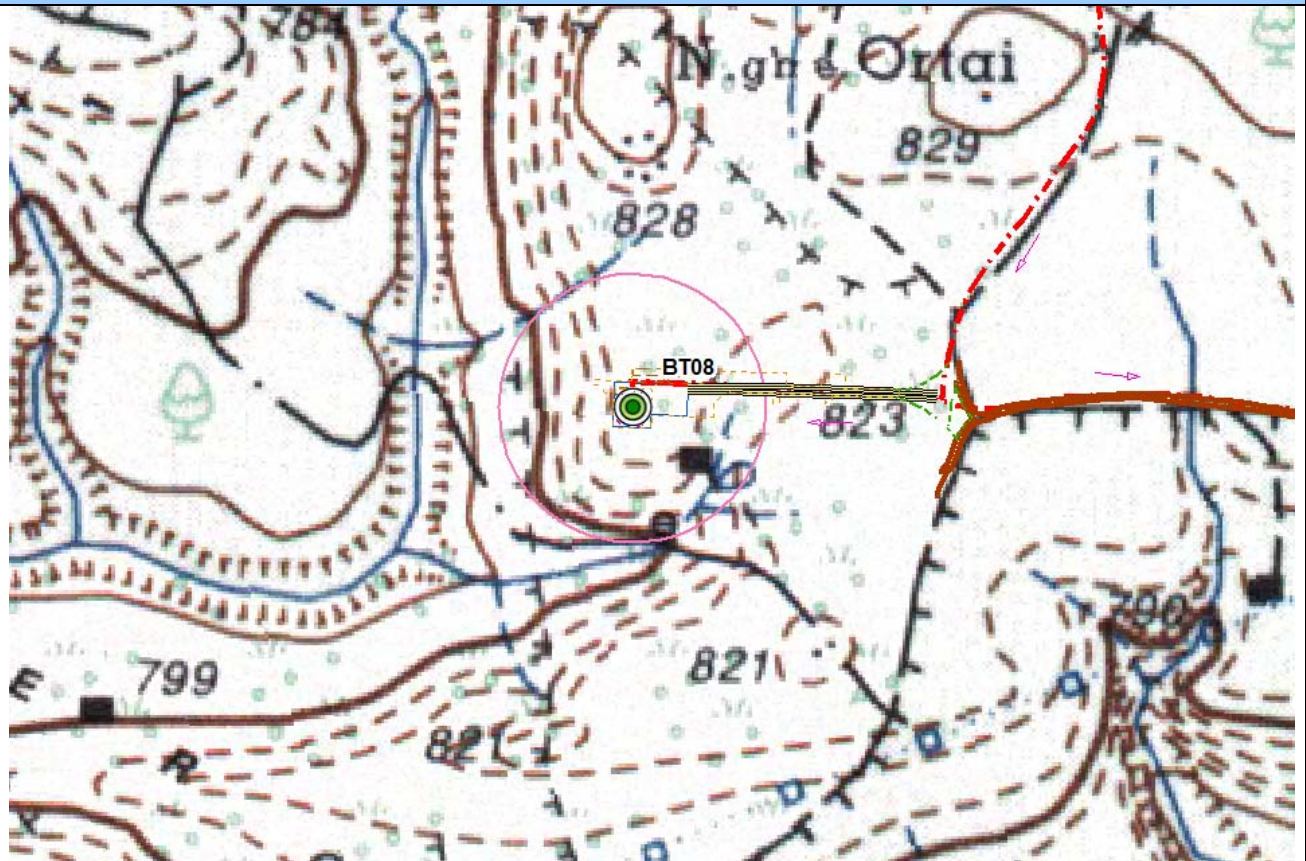


3.6 AEROGENERATORE BT08

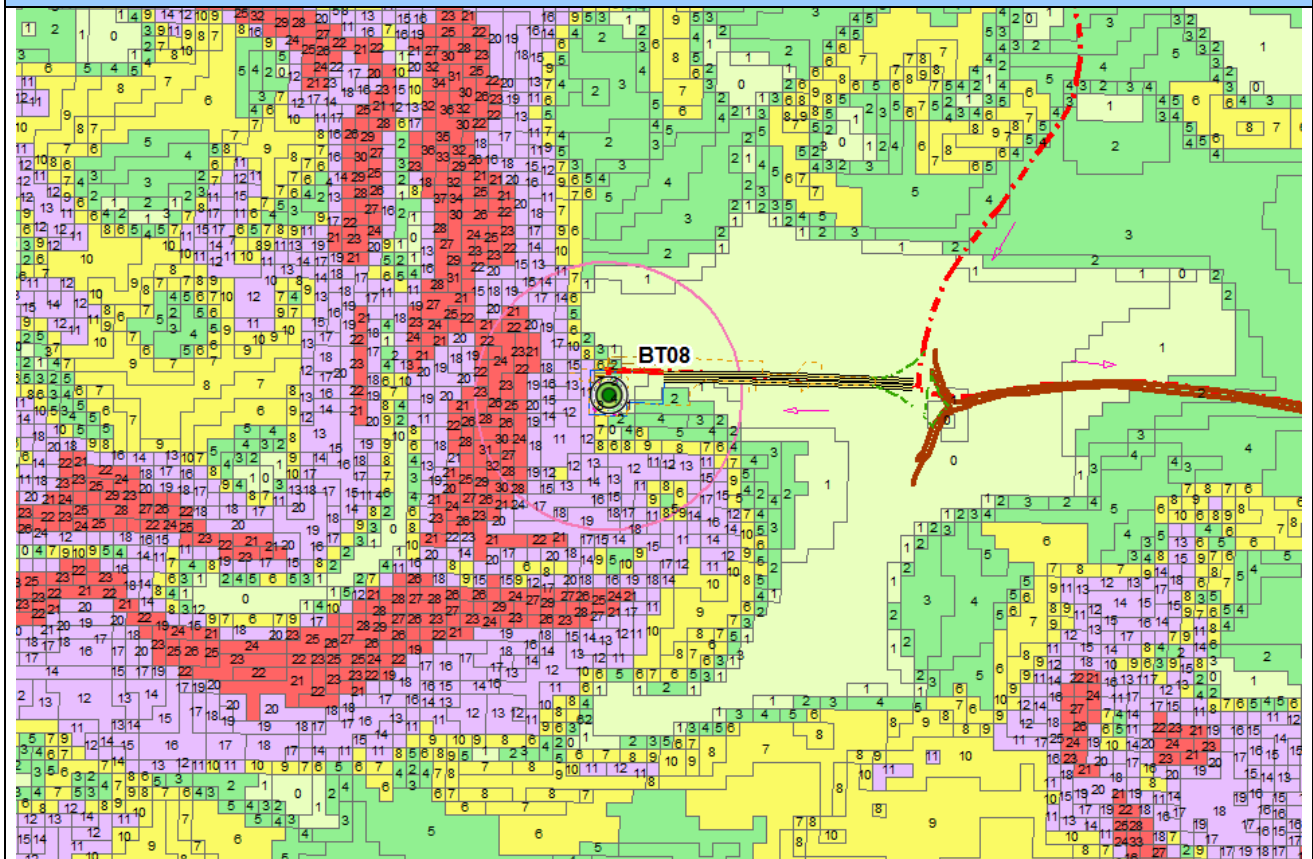
<i>Ambito analizzato</i>	<i>Area di posizionamento dell'aerogeneratore BT08</i>						
<i>Caratteri generali del sito</i>	Il sito in cui è posizionata l'aerogeneratore è ubicato in comune di Bitti Loc. Verciula, in un'area agropastorale collinare						
<i>Morfologia</i>	Forme collinari da pianeggianti a subpianeggianti						
<i>Caratteri pedologici</i>	Suoli costituiti da depositi di versante derivati da rocce metamorfiche, di media profondità, franco sabbiosi, mediamente permeabili, subacidi, parzialmente desaturati						
<i>Giudizio di capacità d'uso del suolo</i>	Suoli classificabili nella classe V e VI della land capability						
<i>Uso del suolo e colture in atto</i>	Colture estensive, pascolo e pascolo arborato. Nell'area prossima all'aerogeneratore sono presenti nuclei di sughereta						
<i>Copertura vegetale</i>	Colture agrarie estensive, pascolo, pascolo arborato con sughera						
<i>Naturalità</i>	Livello di naturalità medio-basso per l'area di intervento						
<i>Reti e infrastrutture</i>	Viabilità interpodereale con accesso sulla S.P.50						
<i>Caratteri del paesaggio agrario</i>	Paesaggio del pascolo arborato con sughere						
<i>Fattori economici di mantenimento o di trasformazione</i>	Attività agropastorali. Limitate potenzialità economiche della produzione agrozootecnica per la scarsa fertilità del suolo						
<i>Sensibilità del sito</i>	Suolo e soprassuolo di scarso interesse agrario, sensibilità bassa,						
<i>Possibili impatti</i>	Perdita di suolo. Polveri e rumore durante l'esecuzione dei lavori. Rimozione di n. 9 sughere presenti.						
			<i>Origine degli impatti</i>				
	<i>Produzione degli impatti</i>		Sottostazioni	Aerogeneratori	Viabilità	Cavidotti	Cumulativi
	Ambito	Componenti					
	<i>Sistema ambientale</i>	Vegetazione	0	1	1	1	1
		Idrologia	0	0	0	0	0
		Suolo	0	3	1	1	3
		Produzione di rumori e polveri	0	1	1	1	1
	<i>Infrastrutture rurali</i>	Aziende agricole	0	0	0	0	0
		Rete irrigua	0	0	0	0	0
Viabilità locale		0	0	1	1	1	
Altre infrastrutture		0	0	0	0	0	
<i>Paesaggio agrario</i>	Modifiche del paesaggio agrario	0	3	1	0	3	
<i>Interventi di mitigazione e compensazione</i>	Ripristino dei luoghi al termine dei lavori. Interventi di forestazione compensativa in Comune di Bitti						
<i>Note</i>	Scala approssimativa delle immagini 1:5.000						

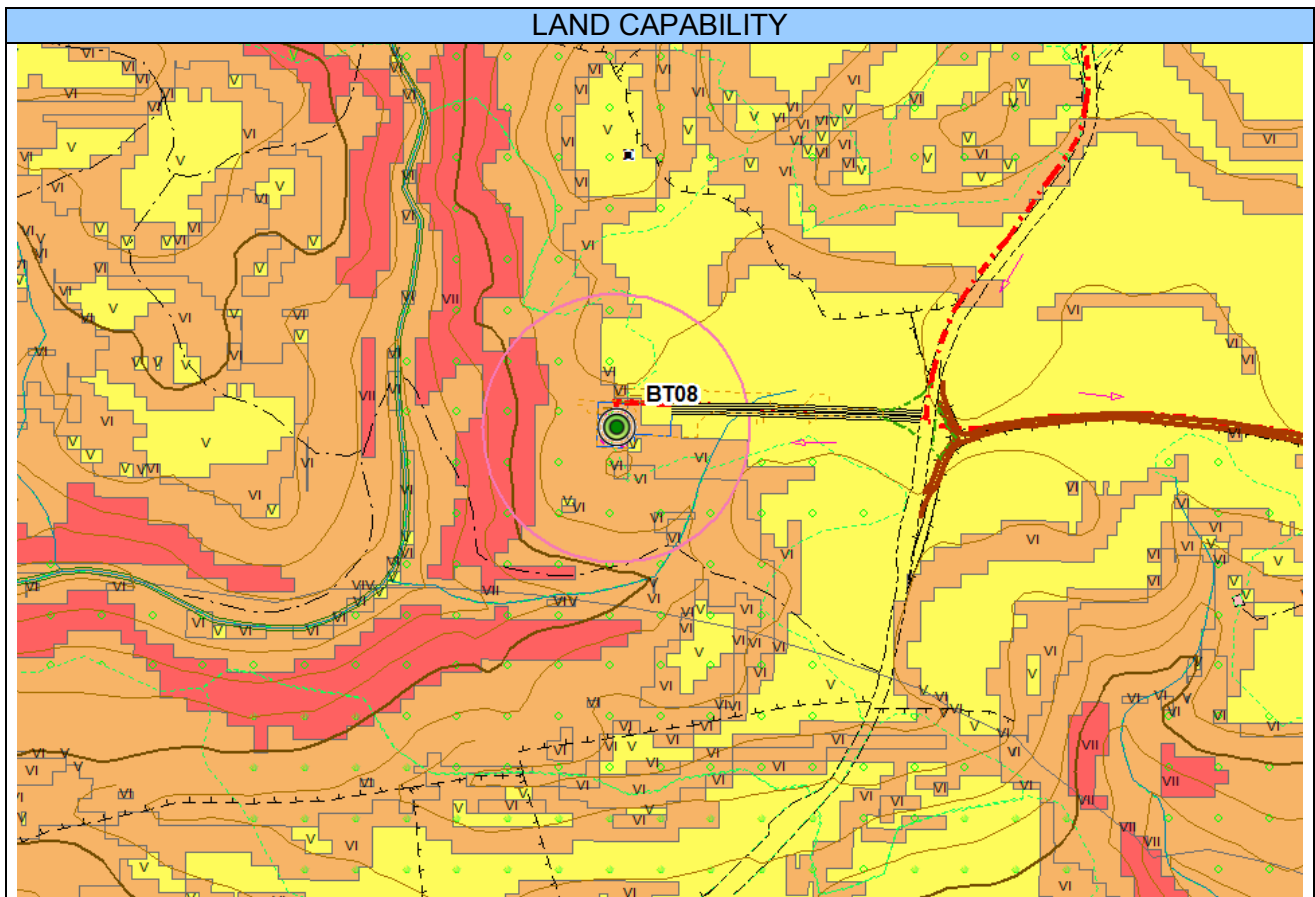
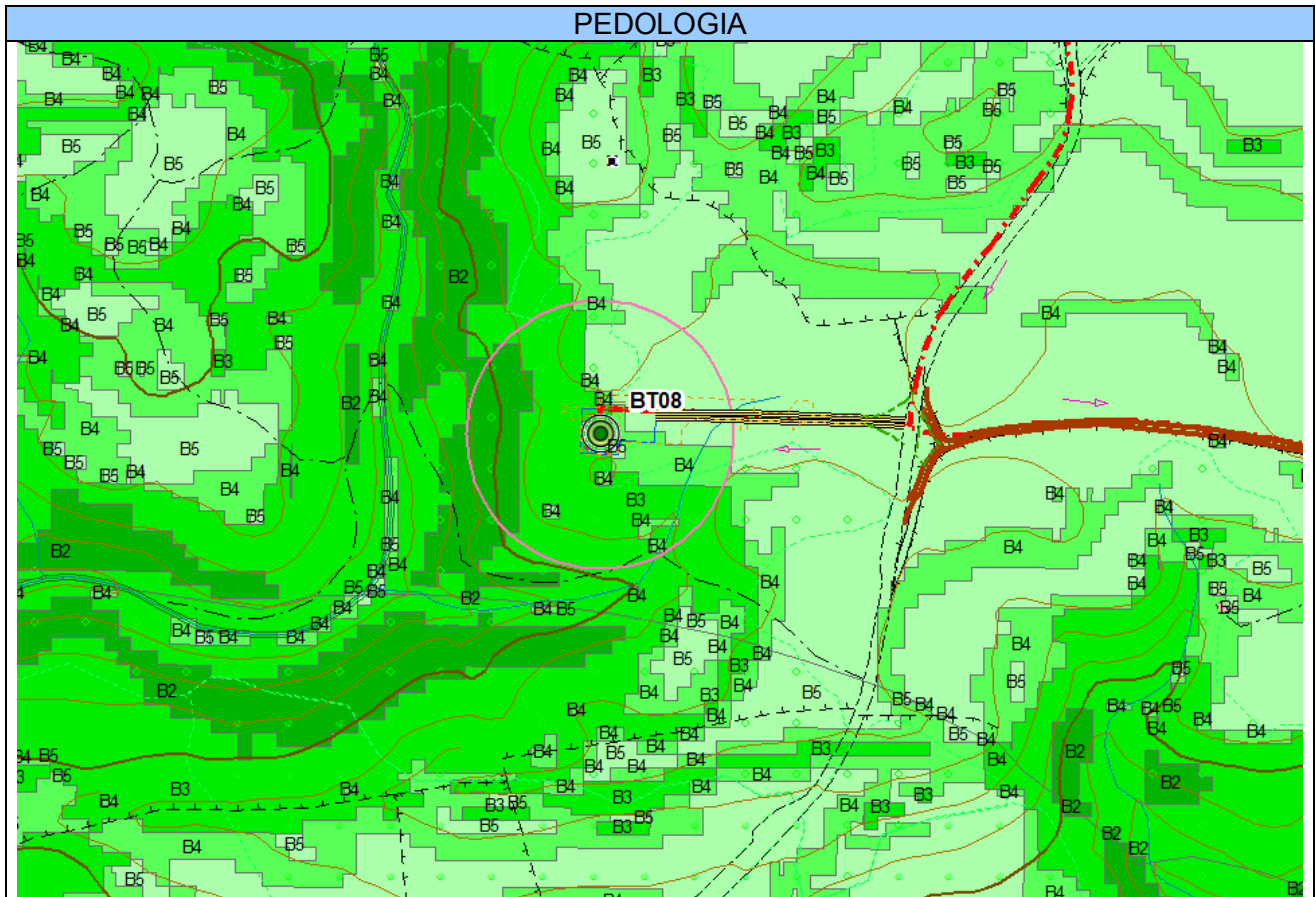


INQUADRAMENTO IGM



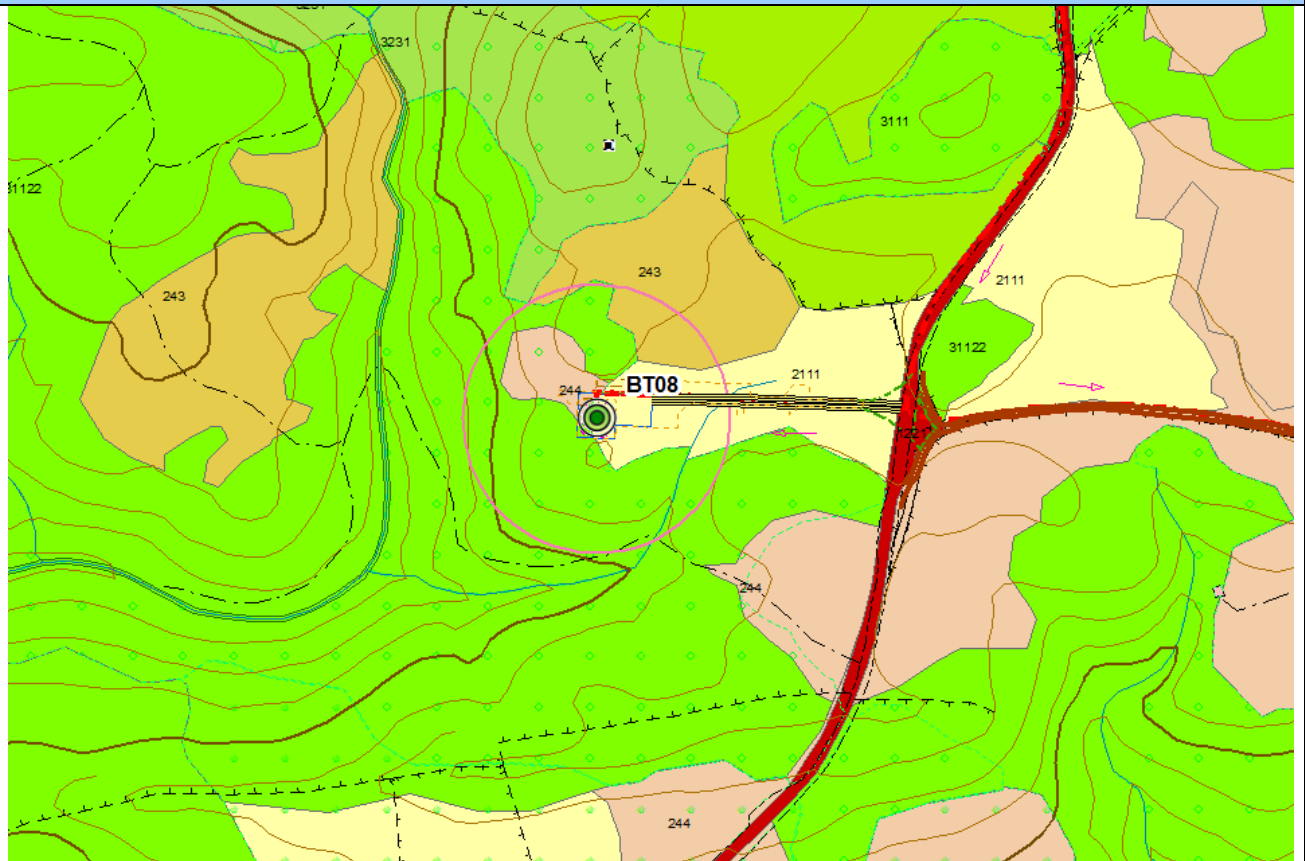
MORFOLOGIA



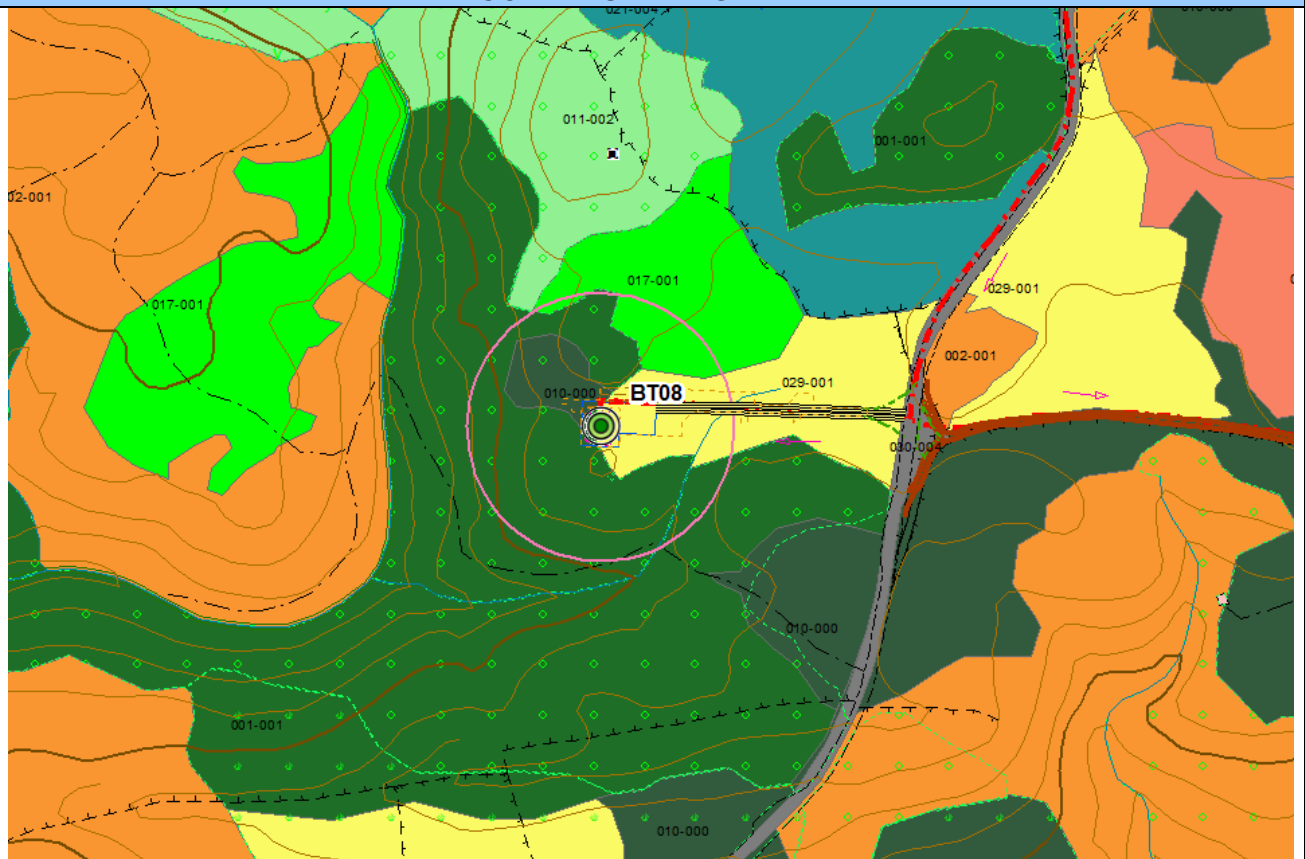




USO DEL SUOLO

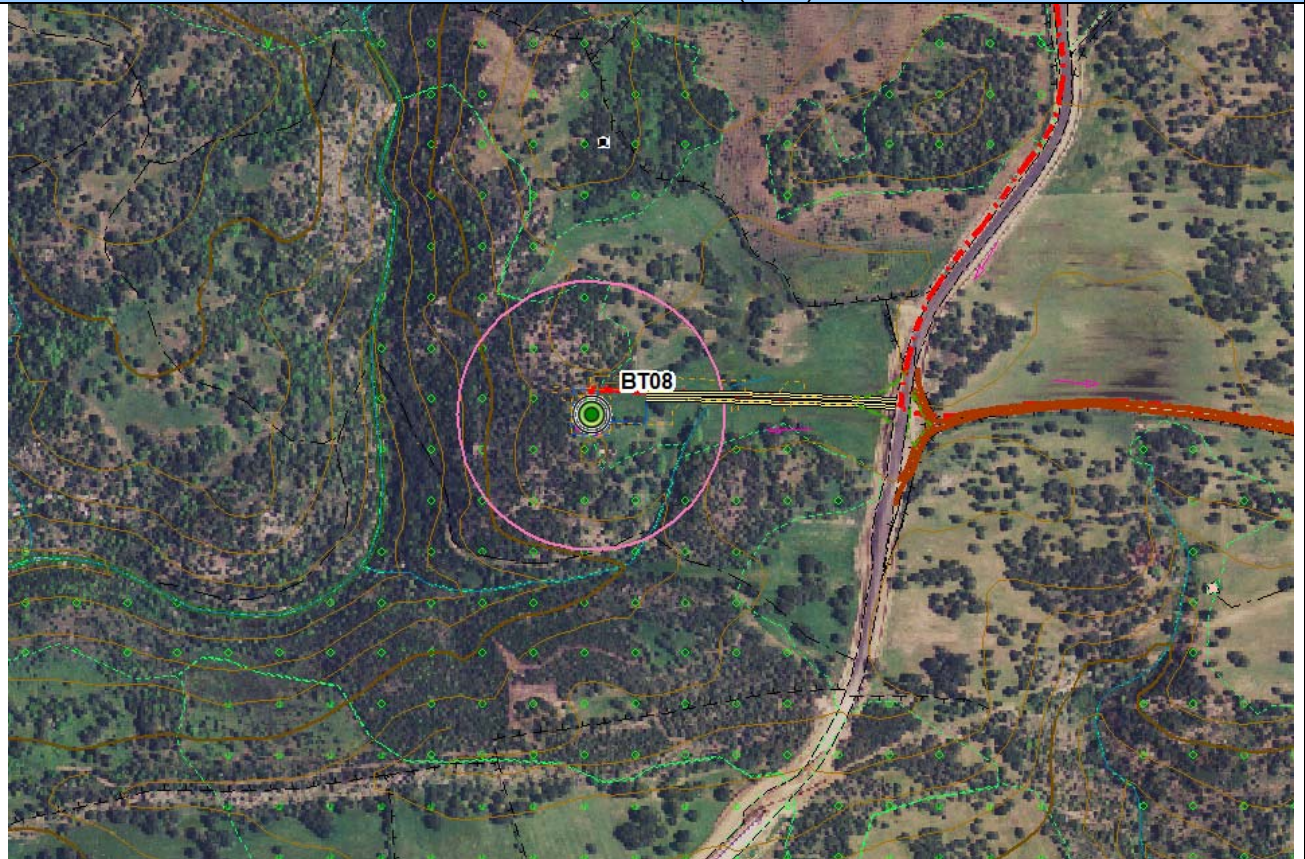


COPERTURA VEGETALE

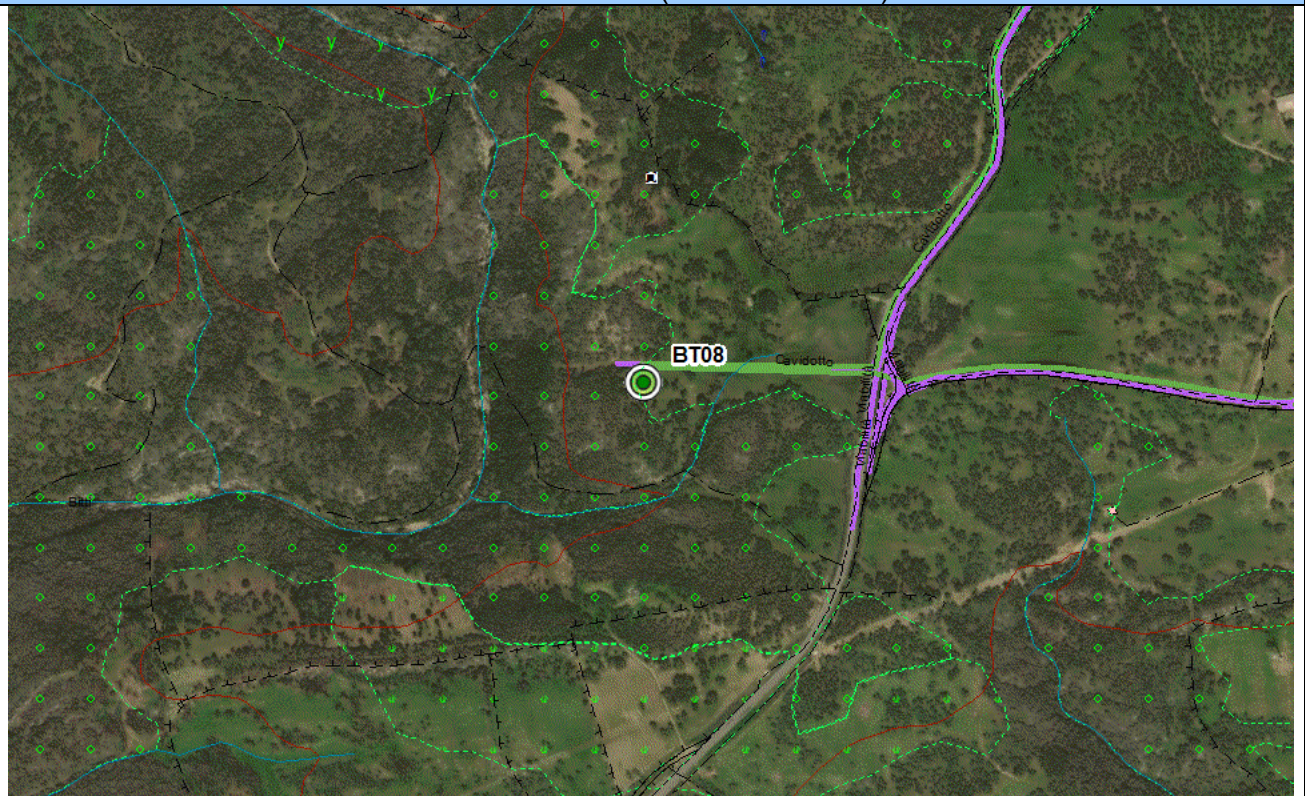




ORTOFOTO 2006 (RAS)



ORTOFOTO 2018 (ESRI IMAGERY)





VISTE



Area di posizionamento dell'aerogeneratore BT08



(immagine Google Earth)

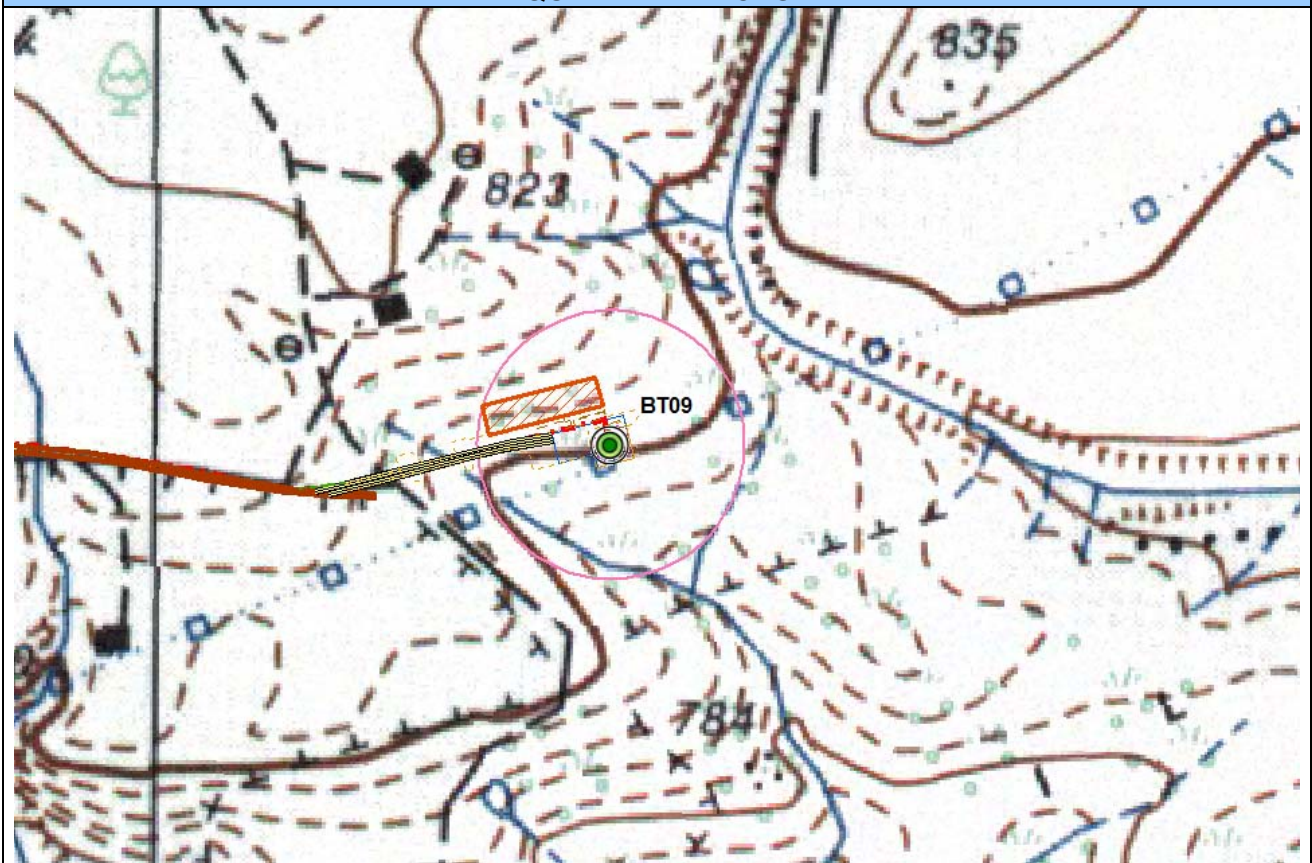


3.7 AEROGENERATORE BT09

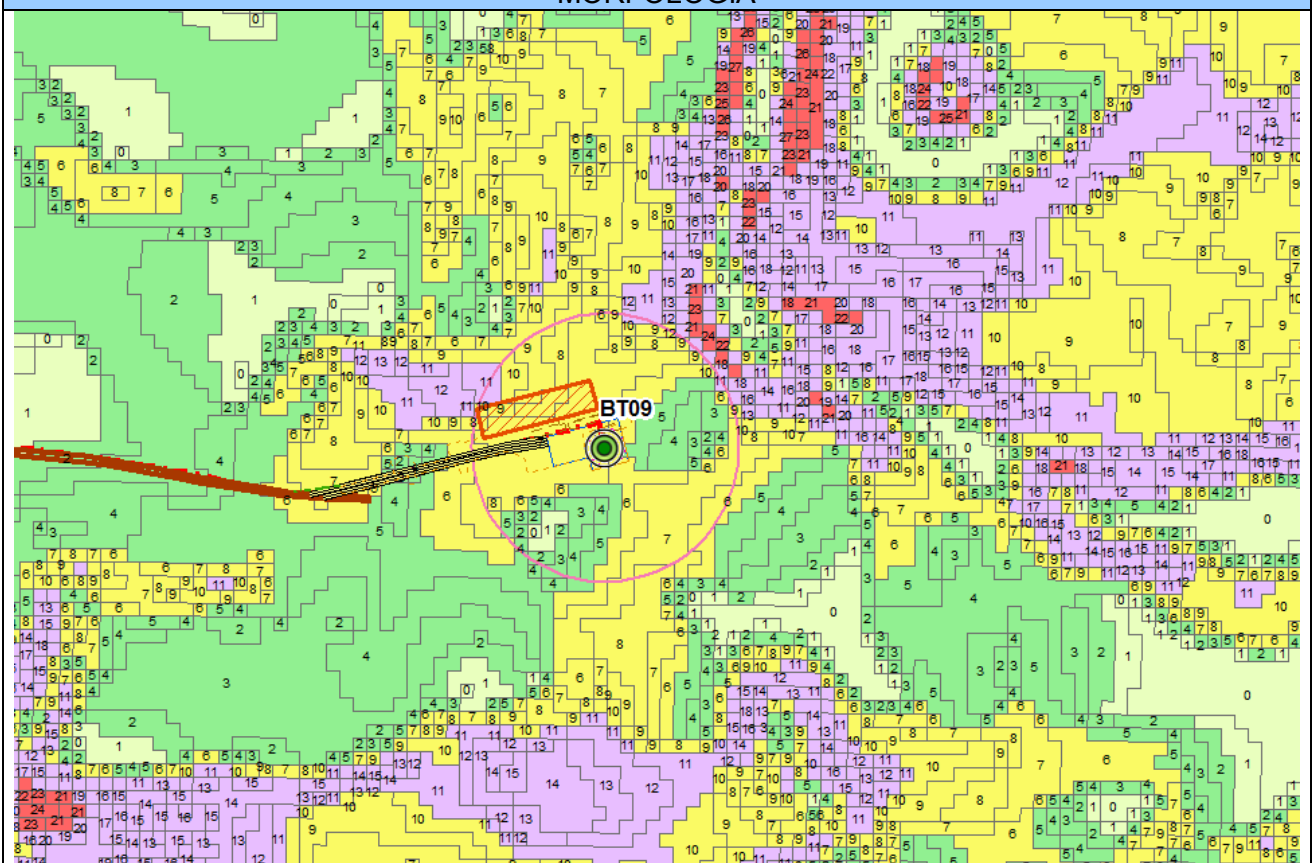
<i>Ambito analizzato</i>	<i>Area di posizionamento dell'aerogeneratore BT09</i>						
<i>Caratteri generali del sito</i>	Gli aerogeneratori sono posizionati in comune di Bitti, loc. Selicosa, in un'area collinare pianeggiante in una zona libera circondata da aree con pascolo arborato						
<i>Morfologia</i>	Forme collinari da subpianeggianti a moderatamente acclivi						
<i>Caratteri pedologici</i>	Suoli costituiti da depositi di versante derivati da rocce metamorfiche, di media profondità, franco sabbiosi, mediamente permeabili, subacidi, parzialmente desaturati						
<i>Giudizio di capacità d'uso del suolo</i>	Suoli classificabili nella classe V (VI) della land capability						
<i>Uso del suolo e colture in atto</i>	Colture estensive, pascolo e pascolo arborato. Nell'area sono presenti altri aerogeneratori						
<i>Copertura vegetale</i>	Colture agrarie estensive, pascolo, pascolo arborato con sughera						
<i>Naturalità</i>	Livello di naturalità da basso per la presenza dei terreni arati a medio per presenza pascolo arborato						
<i>Reti e infrastrutture</i>	Viabilità interpodereale con accesso sulla S.P. 50, piccole strutture zootecniche non residenziali e pale eoliche nell'intorno						
<i>Caratteri del paesaggio agrario</i>	Paesaggio del pascolo arborato						
<i>Fattori economici di mantenimento o di trasformazione</i>	Attività agropastorali. Limitate potenzialità economiche della produzione agricola per la scarsa fertilità del suolo						
<i>Sensibilità del sito</i>	Suolo e soprassuolo di scarso interesse agrario, sensibilità bassa,						
<i>Possibili impatti</i>	Perdita di suolo per creazione di tratto di viabilità di accesso (necessario il riallineamento della strada interpodereale). Rimozione di n. 2 sughere presenti. Polveri e rumore durante l'esecuzione dei lavori						
	<i>Origine degli impatti</i>						
	<i>Produzione degli impatti</i>		Sottostazioni	Aerogeneratori	Viabilità	Cavidotti	Cumulativi
	Ambito	Componenti					
	<i>Sistema ambientale</i>	Vegetazione	0	1	1	1	1
		Idrologia	0	0	0	0	0
		Suolo	0	3	1	1	3
	<i>Infrastrutture rurali</i>	Produzione di rumori e polveri	0	1	1	1	1
		Aziende agricole	0	0	0	0	0
		Rete irrigua	0	0	0	0	0
Viabilità locale		0	0	1	1	1	
<i>Paesaggio agrario</i>	Altre infrastrutture	0	0	0	0	0	
	Modifiche del paesaggio agrario	0	3	1	0	3	
<i>Interventi di mitigazione e compensazione</i>	Ripristino dei luoghi al termine dei lavori. Interventi di forestazione compensativa in Comune di Bitti						
<i>Note</i>	Scala approssimativa delle immagini 1:5.000						
<i>Giudizio sintetico</i>	Impatti complessivamente limitati, buona compatibilità con il progetto						



INQUADRAMENTO IGM

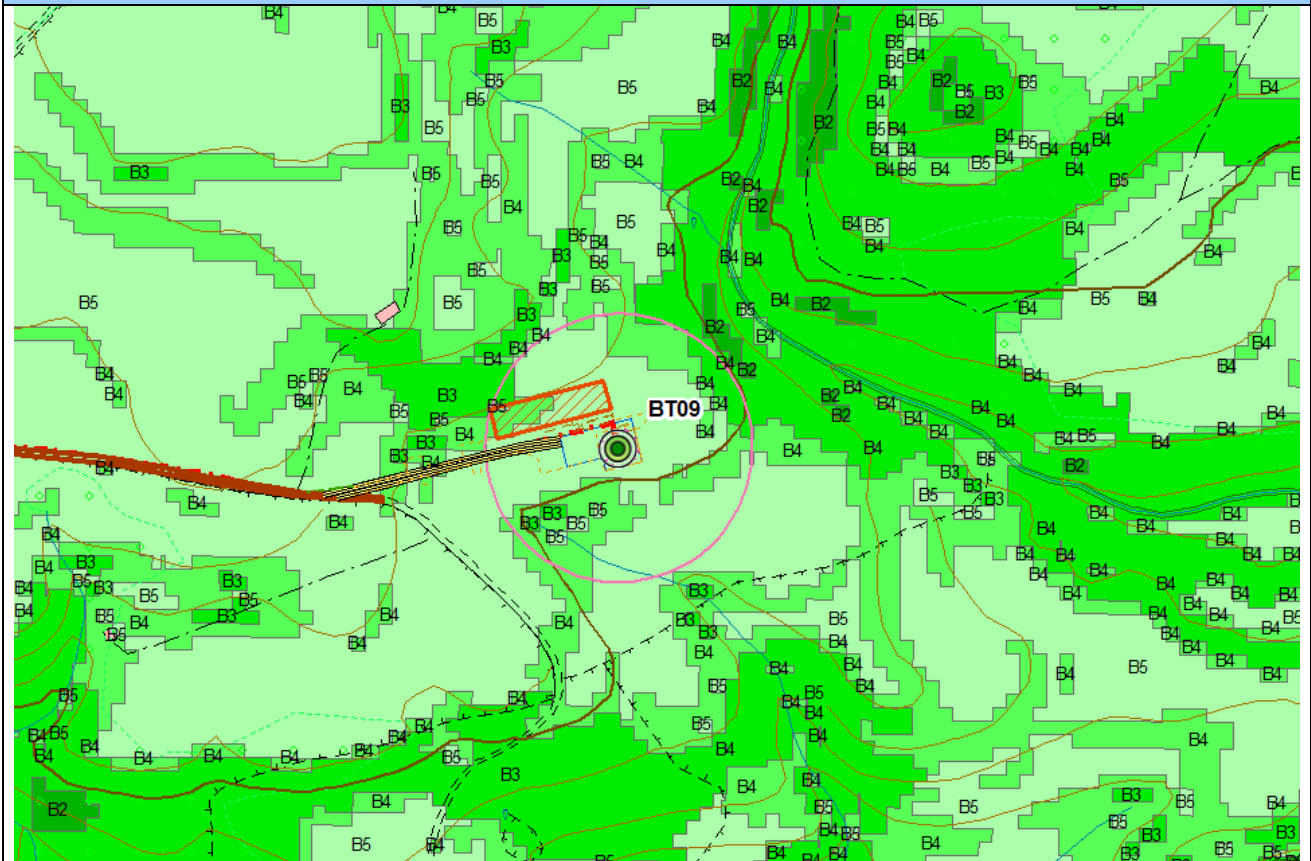


MORFOLOGIA

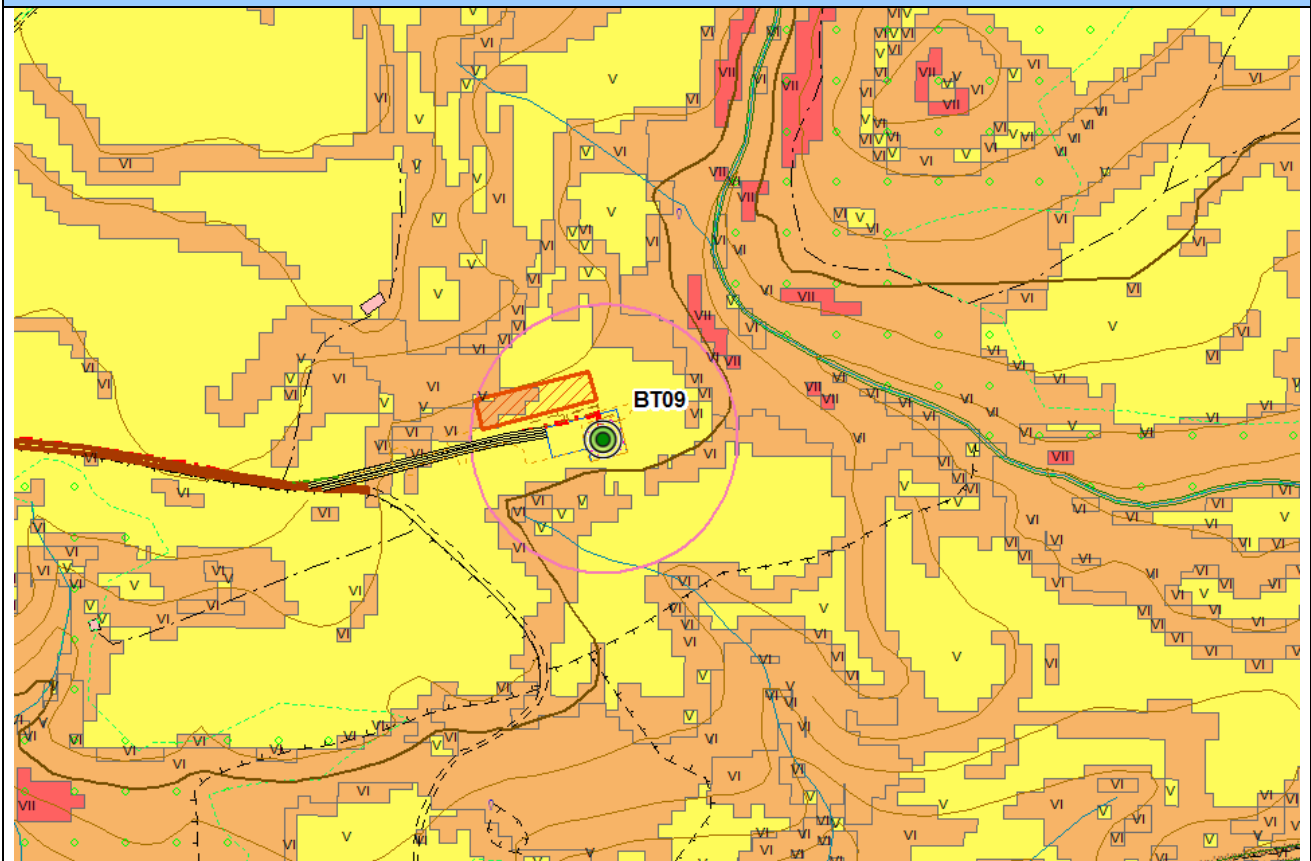




PEDOLOGIA

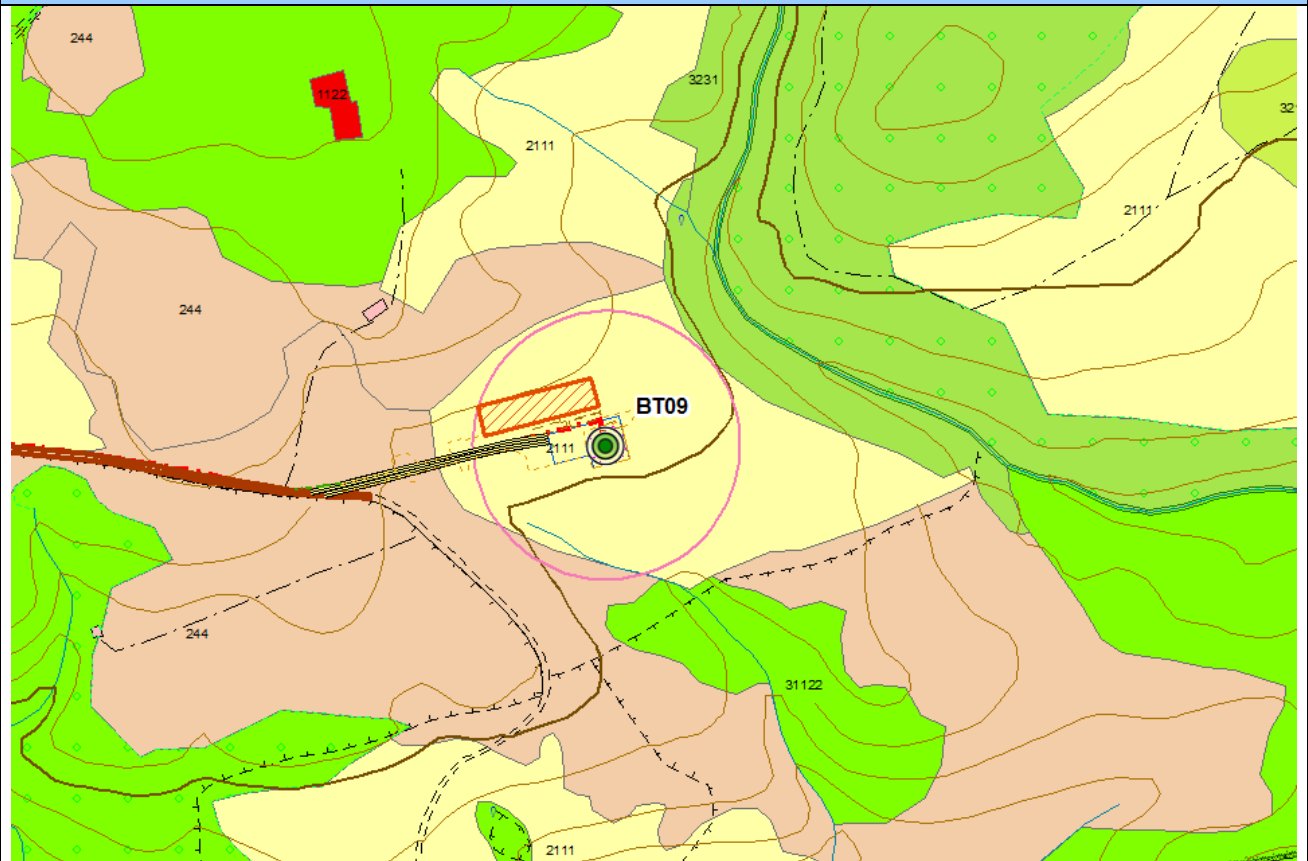


LAND CAPABILITY

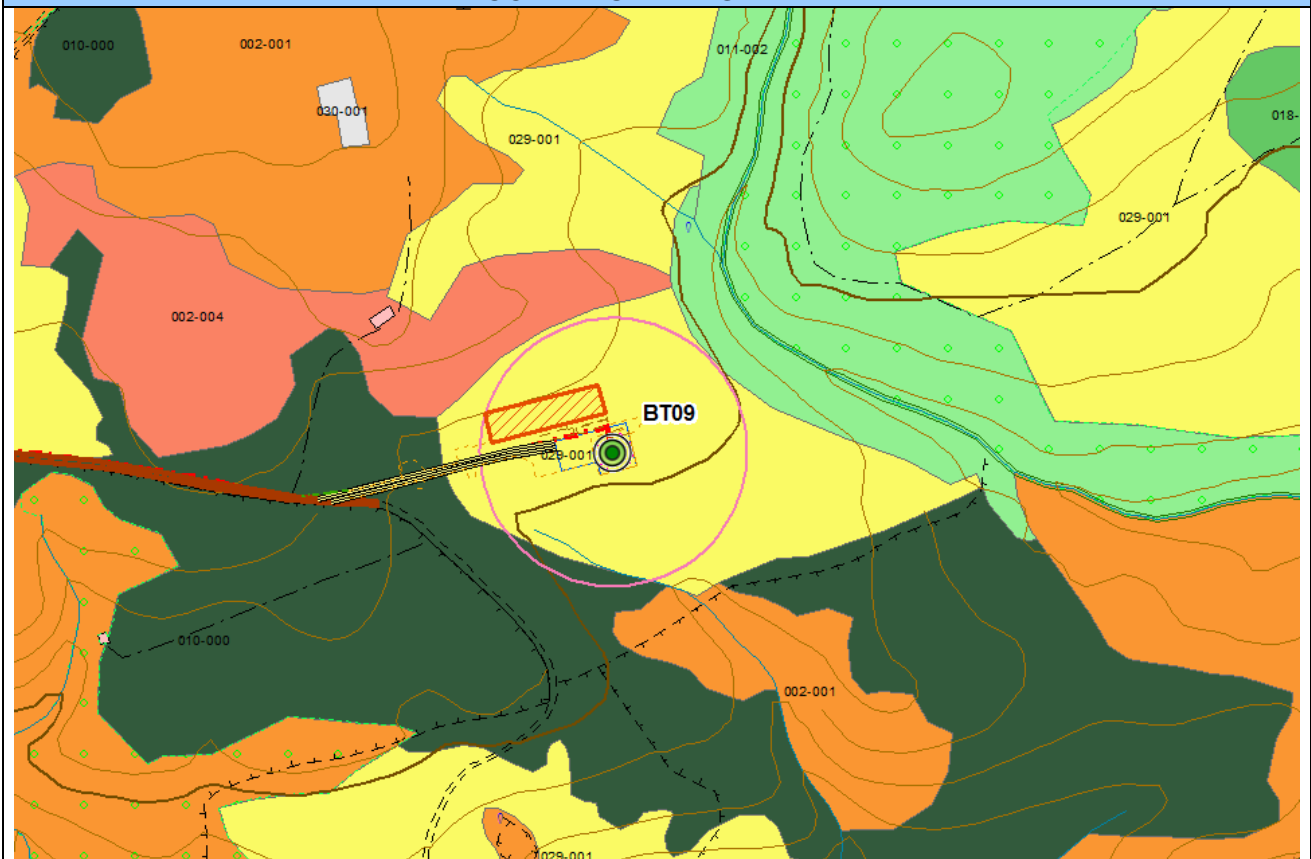




USO DEL SUOLO



COPERTURA VEGETALE





ORTOFOTO 2006 (RAS)



ORTOFOTO 2018 (ESRI IMAGERY)





VISTE



Area di posizionamento dell'aerogeneratore BT09



Area di posizionamento dell'aerogeneratore BT10



(immagine Google Earth)



(immagine Google Earth)

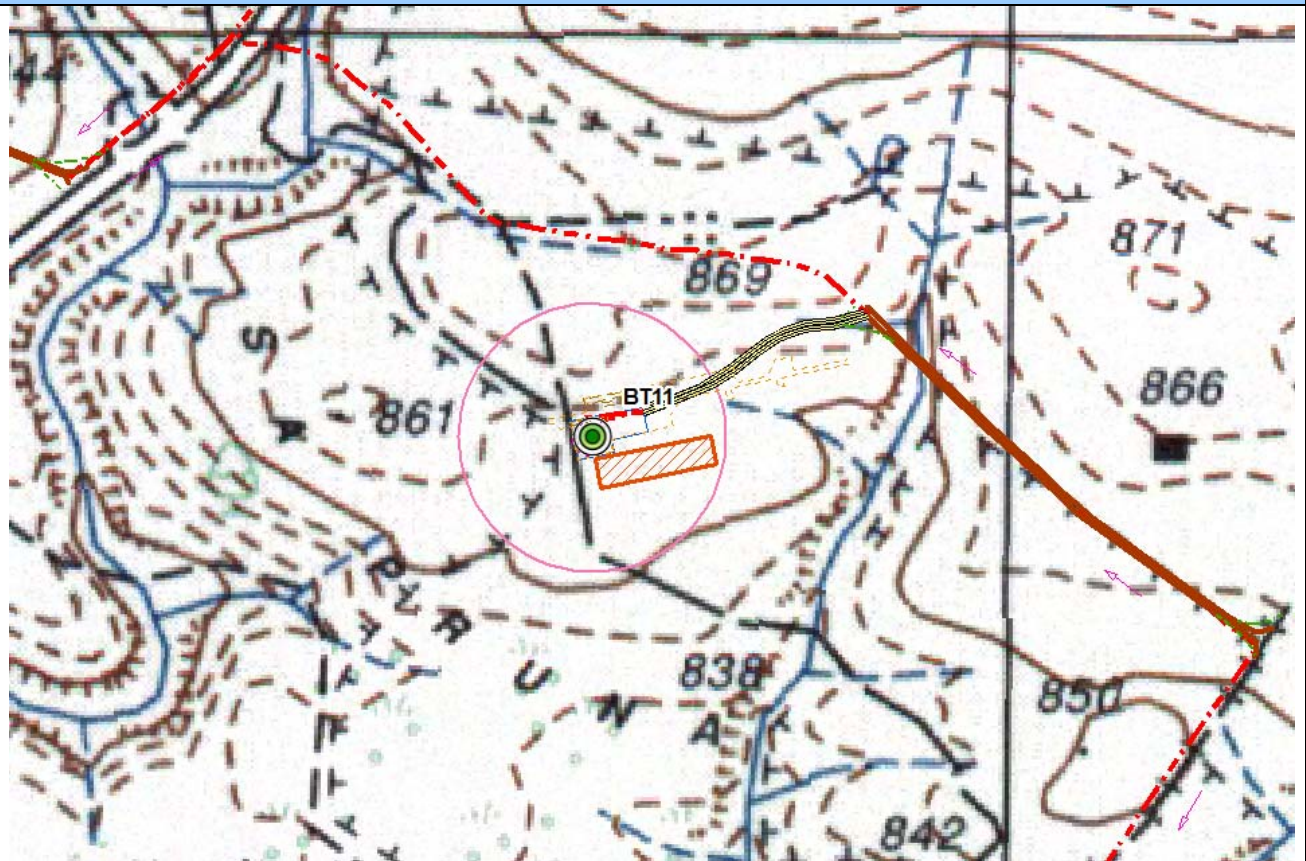


3.8 AEROGENERATORE BT11

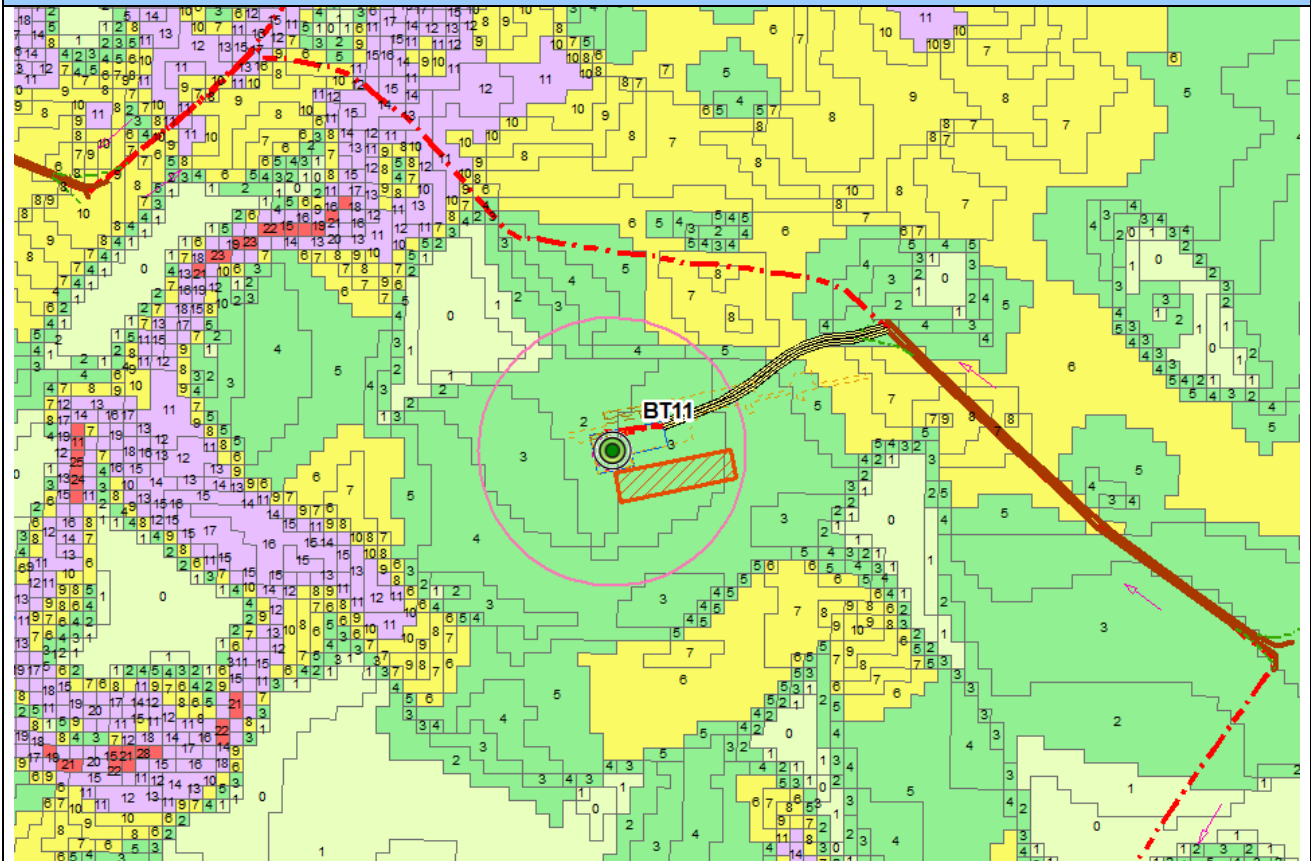
<i>Ambito analizzato</i>	<i>Area di posizionamento dell'aerogeneratore BT11</i>						
<i>Caratteri generali del sito</i>	L'aerogeneratore è posizionata in comune di Bitti loc. Sa Piruna un'area agropastorale						
<i>Morfologia</i>	Forme subpianeggianti						
<i>Caratteri pedologici</i>	Suoli derivati da rocce metamorfiche, di media profondità, franco sabbiosi, mediamente permeabili, subacidi, parzialmente desaturati.						
<i>Giudizio di capacità d'uso del suolo</i>	Suoli classificabili nella classe V della land capability						
<i>Uso del suolo e colture in atto</i>	Pascolo e pascolo arborato con sughera						
<i>Copertura vegetale</i>	Pascolo e pascolo arborato con sughere isolate						
<i>Naturalità</i>	Livello di naturalità medio-basso per l'area di intervento, elevato in corrispondenza dei nuclei di sughera						
<i>Reti e infrastrutture</i>	Fabbricati rurali nelle vicinanze						
<i>Caratteri del paesaggio agrario</i>	Paesaggio del pascolo arborato sulle colline granitiche						
<i>Fattori economici di mantenimento o di trasformazione</i>	Limitate potenzialità economiche della produzione agricola in atto per la scarsa fertilità del suolo						
<i>Sensibilità del sito</i>	Suolo e soprassuolo di scarso interesse agrario, sensibilità bassa,						
<i>Possibili impatti</i>	Perdita di suolo. Polveri e rumore durante l'esecuzione dei lavori. Rimozione di n. 5 sughere presenti.						
			<i>Origine degli impatti</i>				
	<i>Produzione degli impatti</i>		Sottostazioni	Aerogeneratori	Viabilità	Cavidotti	Cumulativi
	Ambito	Componenti					
	<i>Sistema ambientale</i>	Vegetazione	0	1	1	1	1
		Idrologia	0	0	0	0	0
		Suolo	0	3	1	1	3
		Produzione di rumori e polveri	0	1	1	1	1
	<i>Infrastrutture rurali</i>	Aziende agricole	0	0	0	0	0
		Rete irrigua	0	0	0	0	0
Viabilità locale		0	0	1	1	1	
Altre infrastrutture		0	0	0	0	0	
<i>Paesaggio agrario</i>	Modifiche del paesaggio agrario	0	3	1	0	3	
<i>Interventi di mitigazione e compensazione</i>	Ripristino dei luoghi al termine dei lavori. Interventi di forestazione compensativa in Comune di Bitti						
<i>Note</i>	Scala approssimativa delle immagini 1:5.000						



INQUADRAMENTO IGM

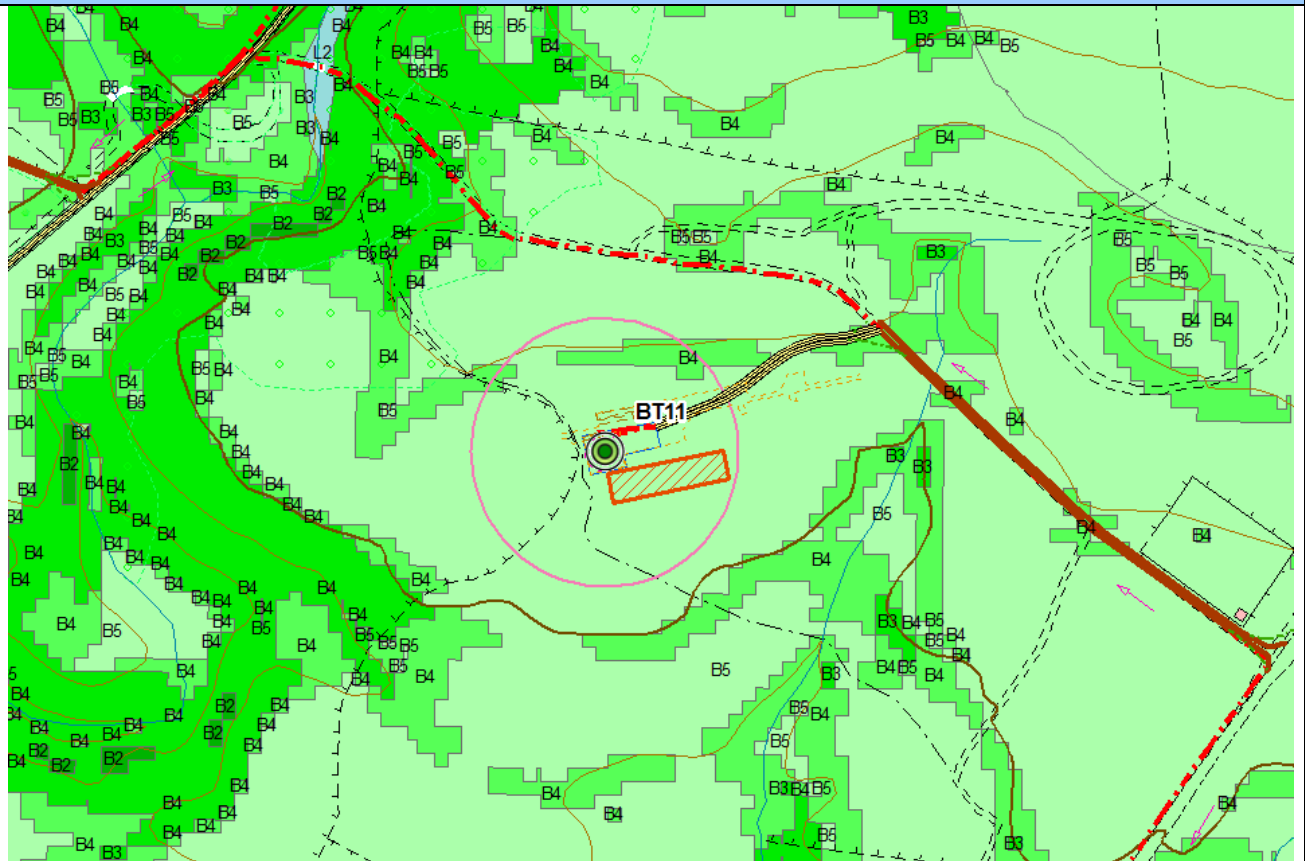


MORFOLOGIA

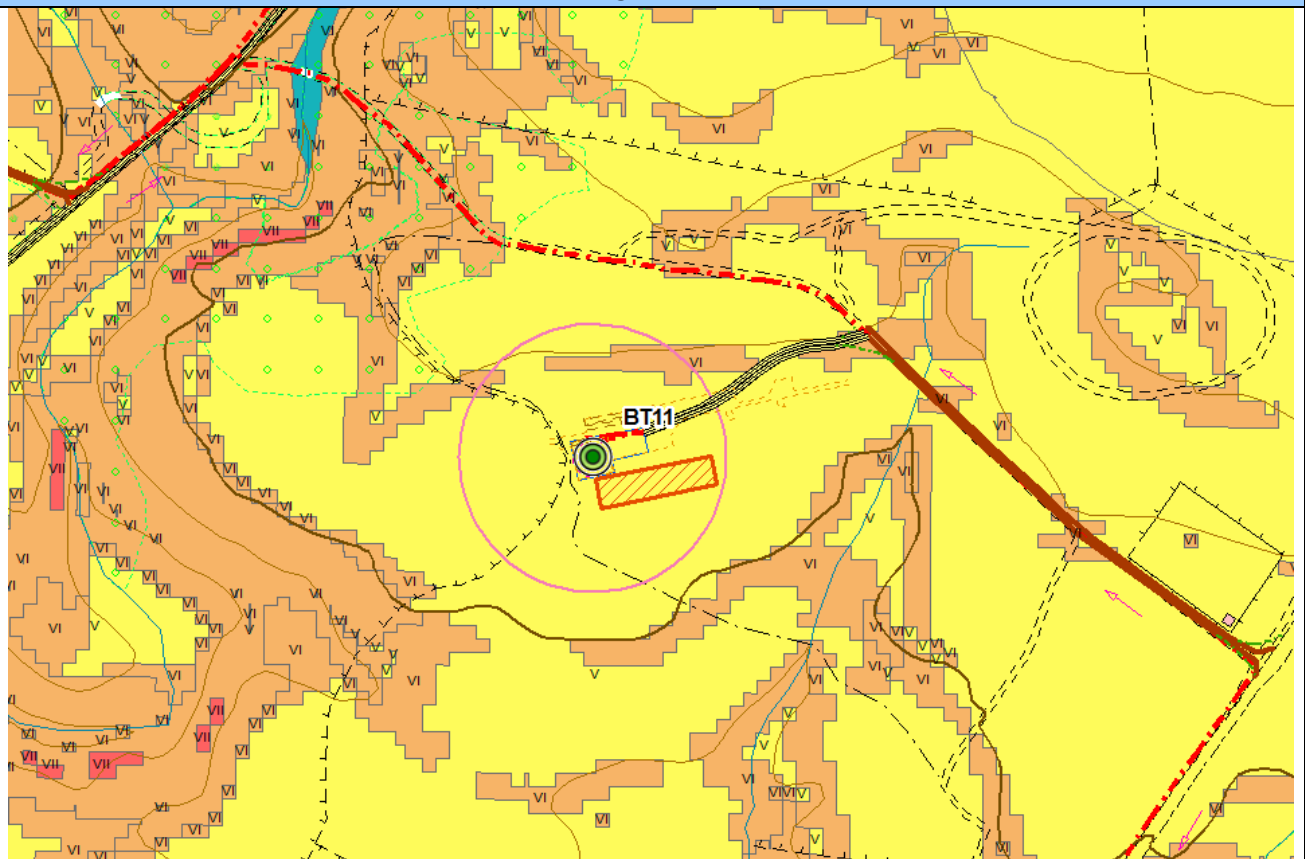




PEDOLOGIA

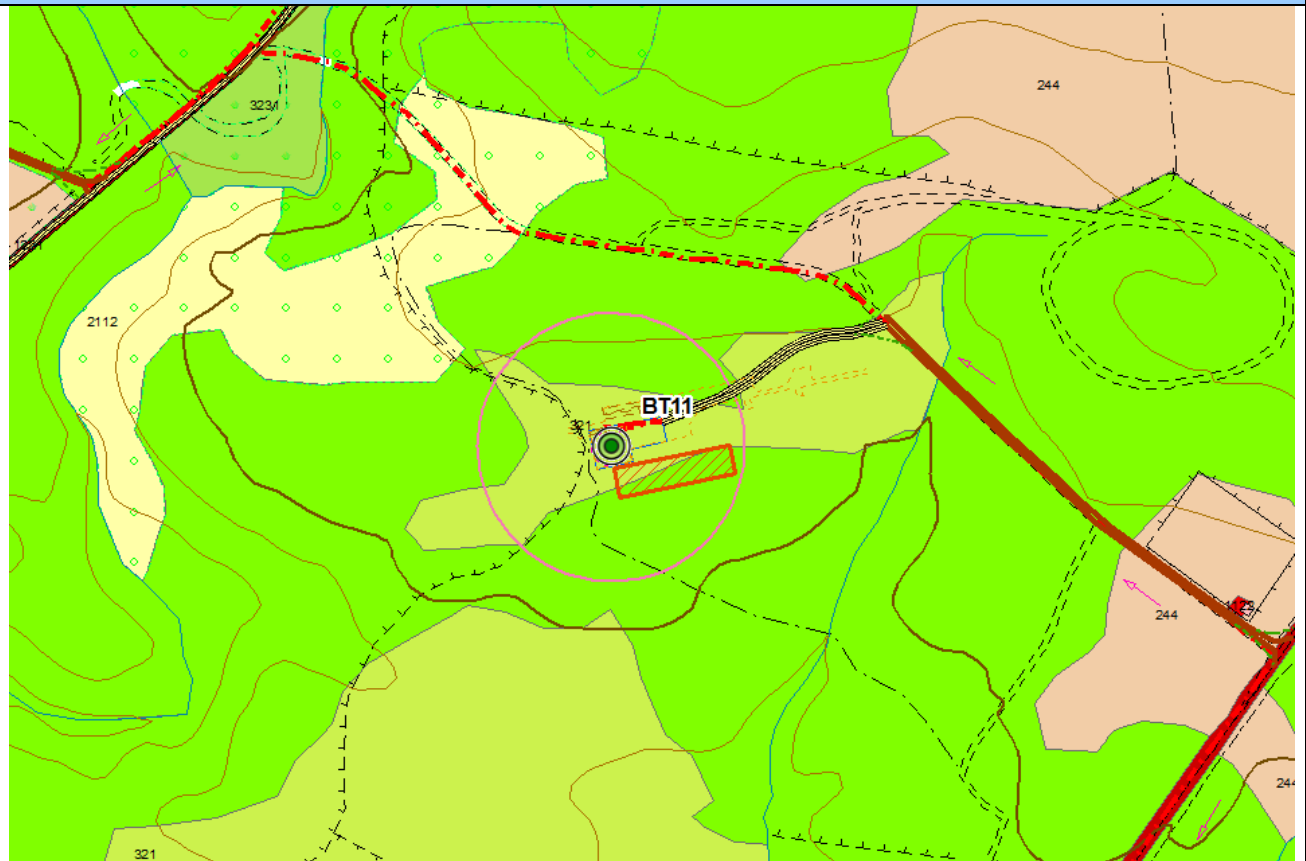


LAND CAPABILITY

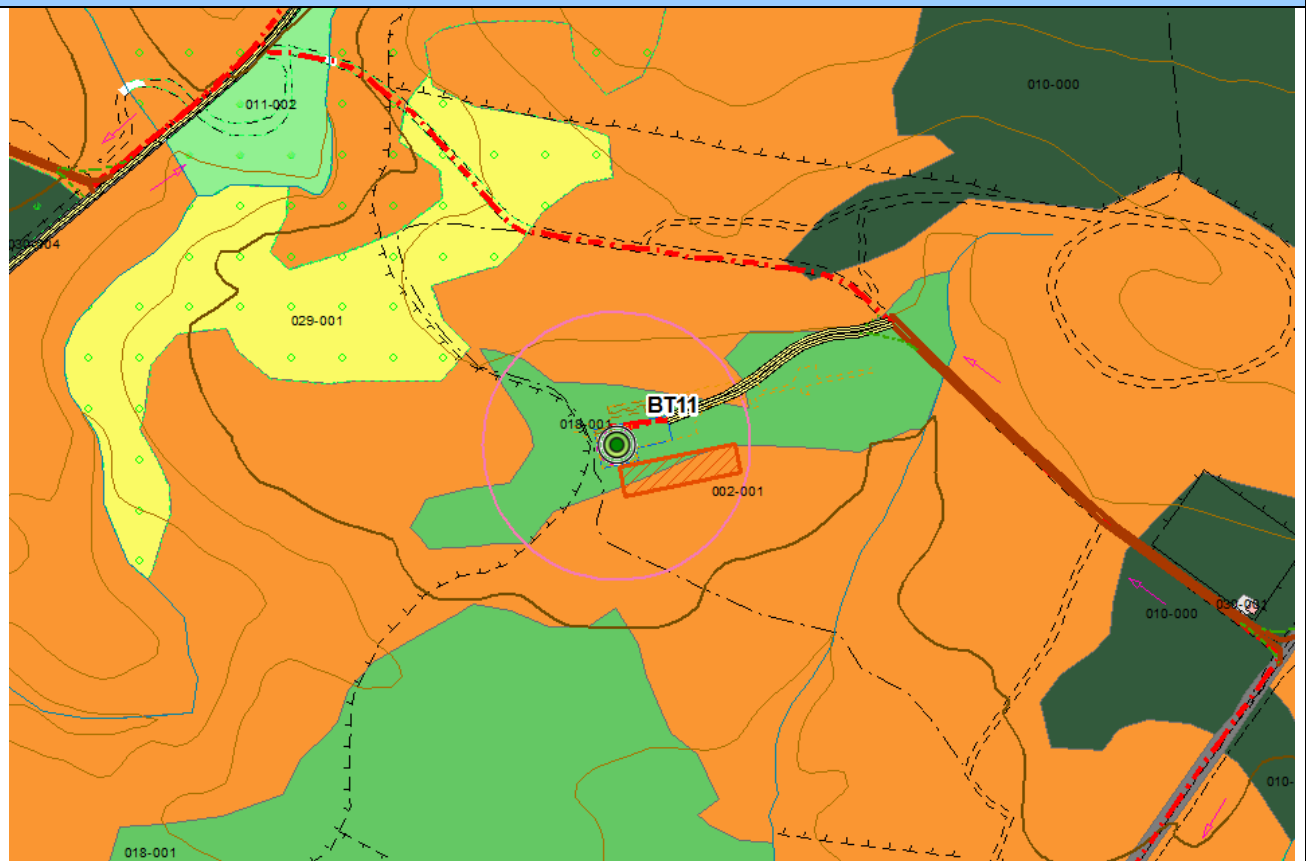




USO DEL SUOLO

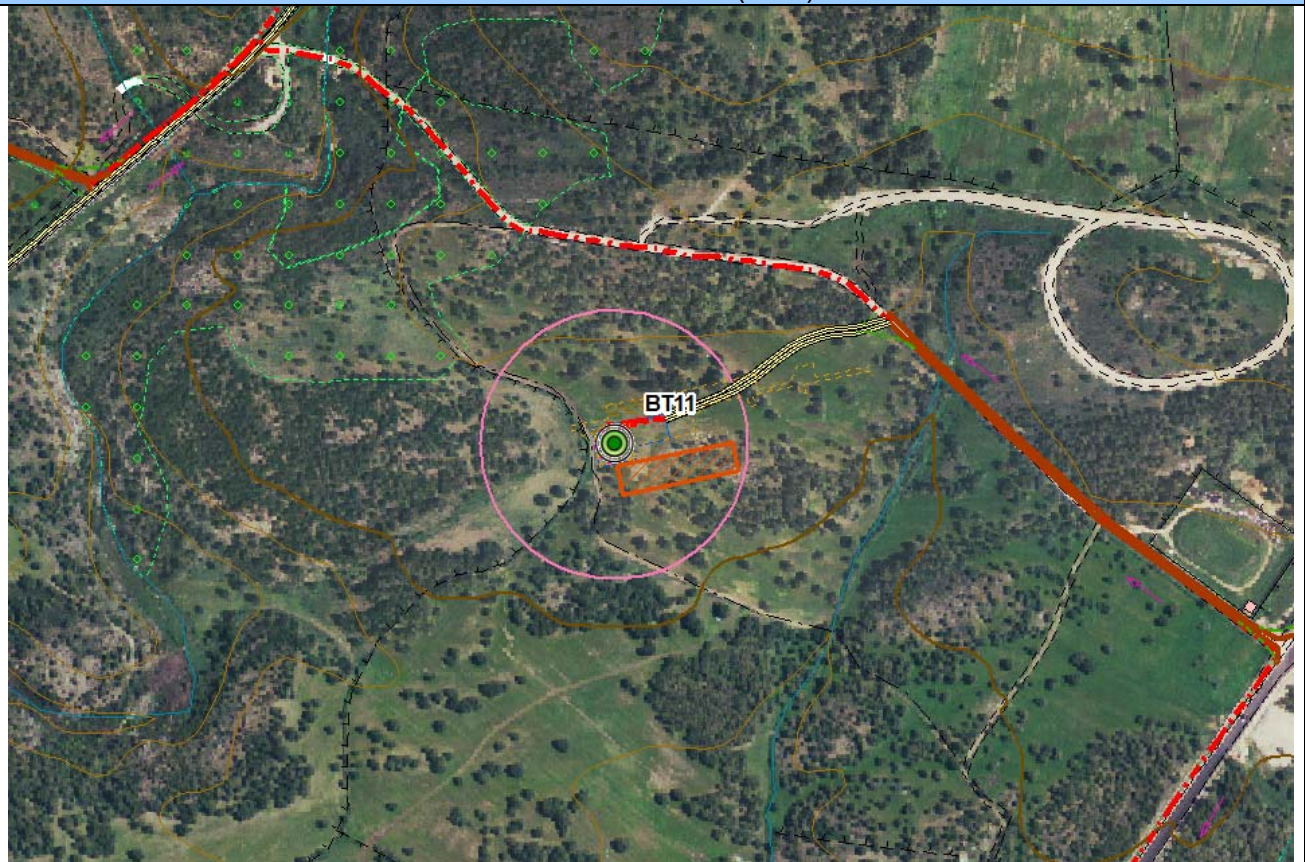


COPERTURA VEGETALE





ORTOFOTO 2006 (RAS)



ORTOFOTO 2018 (ESRI IMAGERY)





VISTE



Area di posizionamento dell'aerogeneratore BT11



(immagine Google Earth)



4 INQUADRAMENTO STORICO CULTURALE DEL TERRITORIO¹

La vasta area che fa da cornice all'intervento, definita formalmente da un buffer dal raggio di m 10.000 attorno ad ogni aerogeneratore², pur nella sua riconfigurazione a seguito della riduzione del numero degli aerogeneratori, compone un quadro di densità storica che permette non solo di evidenziare una rete di paesaggi culturali e di monumenti, ma di definire un contesto la cui lettura è premessa indispensabile per cogliere l'area specifica oggetto di intervento.

Si tratta sostanzialmente di aree montane, pedemontane a forte caratterizzazione boschiva, con importanti elementi idrologici (su tutti le sorgenti del Tirso, ubicabili in comune di Buddusò nel complesso monumentale di Sos Muros e presso la fonte di Abbas de Frau), dove dai tempi del Neolitico iniziarono a delinearsi occupazioni antropiche che faranno dell'area una delle più ricche e significative della storica 'Barbaria'. Si formano lungo i millenni, nella relazione fra uomo e risorse ambientali, zone di stanziamento che dialogano con aree e vie di sosta temporanea e passaggio, arrivando a definire in modo ancora percepibile "le tracce dell'opposizione-integrazione del paberile-viddazzone-salti"³.

Attorno al territorio della Barbagia superiore, nella Barbagia di Bitti, si incrociano le realtà definite, ai margini della nostra area vasta, dai monti di Gallura e Goceano, dalle alture a Nord in area Monte Tepilora, e da quel limite fondamentale e prospettico di definizione paesaggistica costituito dal Monte Albo.

Se le vicende più antiche della preistoria sono suggerite dalla presenza del megalitismo di *dolmen* e *menhir*, sino a robusti insediamenti d'altura, il popolamento si infittisce con una particolare e densa occupazione nuragica che gestisce, nei suoi centri principali, vari livelli di economia e antropizzazione. Si pensi al grande centro di Su Romanzesu, in comune di Bitti, che sembra maturare la sua straordinaria ricchezza - la cogliamo dagli esiti monumentali e antropologici - nel controllo dei transiti della ricchezza materiale, o alla rete dei nuraghi e dei luoghi sacri pedemontani e d'altura, che ha esiti particolarmente interessanti nei monti di Alà (da ricordare, pur in buona parte al di fuori della nostra area vasta) e alla rete dei nuraghi pedemontani, d'altura e di piano, con il significativo episodio del nuraghe Loelle e delle vicine tombe di giganti ad esso relative.

Al momento sembra poco o nulla visibile la documentazione fenicia e punica, anche se dobbiamo ricordare la presenza di sepolture in ziro⁴ in territorio di Buddusò, già indiziata da materiali fenici presso il nuraghe Ruju,⁵ che potrebbero, come altrove, essere indizio di persistenza culturale punica; si segnalano anche vagni di pasta vitrea policroma da un contesto tombale nella regione di Cheddai.⁶ Di rilievo appare la presenza romana, indicata da ritrovamenti vari e da una rete viaria che, attraverso la *statio* di *Caput Thyrs*⁷ ipotizzata presso Sos Muros di Buddusò, vede il territorio fra Bitti (ad esso più prossimo) e Buddusò attraversato da nord a sud dall'*Iter Ab Ulbia-Carales*, che dopo Bitti si dirige verso i territori a ovest del Gennargentu, in direzione del Sarcidano e Cagliari. Un altro snodo legato alla problematica delle sorgenti del Tirso appare collegato alla fonte di Abbas de Frau e al sito ad essa relativo, attribuito ad età romana.

¹ Cfr. "Carta delle evidenze archeologiche e delle emergenze culturali significative del territorio", allegato 2.

² Secondo le indicazioni del D.M. 10.9.2010, All. 4: vedi allegato 2, 'Carta di distribuzione delle emergenze archeologiche e dei beni culturali rilevanti'.

³ PIGOZZI 2002, 219.

⁴ Archivio SABAP SS-NU, segnalazione di Padre Demelas da località Domu 'e Polcos (prot. 1757, 22.11.60) e risposta del Soprintendente Guglielmo Maetzke con lettera del 13.9.1960.

⁵ GUIRGUIS 2017, 488.

⁶ Le perle in pasta vitrea di diversi colori ricordate nella scheda del Parco di Tepilora potrebbero anche riferirsi a materiali tardo-punici: <http://www.tepilorapark.it/pun-dettaglio.php?id=2605>

⁷ BELLI 1988, 339. fig.1; MASTINO 2006, 35-40.



Anche questi dati rimandano alle tematiche aperte della romanizzazione delle aree barbaricine, e pongono una relazione fra la storia di luoghi scoperti e ancora da individuare lungo grandi direttrici viarie e tracciati minori collegati.

Ugualmente di estremo interesse il transito dall'età romana al medioevo alto e pieno, che vede dopo l'età Giudiciale, nelle fasi Aragonese e Catalana, da un lato la sparizione di centri demici che hanno lasciato testimonianza nelle piccole chiese e tracce di aree insediative, e dall'altro il consolidamento dei centri maggiori, che restituiscono interessanti matrici di antica formazione urbana.

Questo patrimonio, che dal neolitico di *dolmen*, *menhir*, *allées couvertes* e *domus de janas* si muove, superando il Medioevo, verso la Modernità (mentre sembra relativamente stabile il cosiddetto rapporto città-campagna), si arricchisce durante quest'ultima fase di aree di carbonaia e miniera, lasciando diverse tracce di ruderi di stabilimenti, si veda in particolare l'area nei dintorni di Lula, e abitati, tra i quali si distingue il centro di Sos Onorcolos in territorio di Alà dei Sardi.

La Modernità porta anche, con l'organizzazione 'extra-maniero' della pena, la nascita delle carceri ottocentesche, della cui trama resta segno nell'aggregato di Mamone.

5 MAPPATURA DI AREA VASTA DELLE EMERGENZE CULTURALI SIGNIFICATIVE DEL TERRITORIO ⁸

5.1 Comune di Alà dei Sardi

N.	Denominazione	Cronologia	Latitudine	Longitudine	Vincolo	Carta del Rischio
1	Altura fortificata di Nuri	Età del Rame-Età del Bronzo?	40.628101	9.399207		
2	Chiesa di S. Giovanni Battista	Età medievale-Età moderna	40.633814	9.390705		
3	Cuile Marras, rovine	Età moderna	40.664644	9.419727		
4	Insediamiento megalitico di Poddi Alvu	Età del Bronzo Medio - Età del Bronzo finale	40.649777	9.376769		
5	Nuraghe Antoniarrù	Età del Bronzo Medio - Età del Bronzo finale	40.651639	9.363522	Sì	Sì
6	Nuraghe Bardia (Nurattolu de Bardia)	Età del Bronzo Medio - Età del Bronzo finale	40.624977	9.368612		
7	Nuraghe Boddò	Età del Bronzo Medio - Età del Bronzo finale	40.639213	9.347522	Sì	Sì
8	Nuraghe Bostianu Beccu	Età del Bronzo Medio - Età del Bronzo finale	40.619705	9.359503		
9	Nuraghe Bucca 'e Mandra	Età del Bronzo Medio - Età del	40.645860	9.352204		Sì

⁸ Cfr. Allegato 2, "Carta delle evidenze archeologiche e delle emergenze culturali significative del territorio"



		Bronzo finale				
10	Nuraghe Sa Chidade	Età del Bronzo Medio - Età del Bronzo finale	40.635090	9.386976		
11	Nuraghe Fenidde	Età del Bronzo Medio - Età del Bronzo finale	40.629166	9.324437		
12	Nuraghe Lattari	Età del Bronzo Medio - Età del Bronzo finale	40.629103	9.333647	Sì	Sì
13	Nuraghe Malcheddine	Età del Bronzo Medio - Età del Bronzo finale	40.632777	9.324402	Sì	Sì
14	Nuraghe Mathi (Su Frassu)	Età del Bronzo Medio - Età del Bronzo finale	40.626258	9.392253		
15	Nuraghe (Mosaico 5/3058)	Età del Bronzo Medio - Età del Bronzo finale	40.597258	9.405872		
16	Nuraghe (Mosaico 9/3062)	Età del Bronzo Medio - Età del Bronzo finale	40.625178	9.372254		
17	Nuraghe Oisu	Età del Bronzo Medio - Età del Bronzo finale	40.659041	9.392803		
18	Nuraghe Trattasu	Età del Bronzo Medio - Età del Bronzo finale	40.638192	9.364495		
19	Pozzo di Su Posidu	Età del Bronzo Medio - Età del Bronzo finale	40.642425	9.319091		Sì
20	Sos Sonorcolos	Età moderna (XIX sec. d.C.)	40.634186	9.388636		
22	Tomba di giganti Sas Tumbas	Età del Bronzo Medio - Età del Bronzo finale	40.645991	9.372099	Sì	Sì
23	Villaggio-Santuario di Su Pedrighinosu	Età del Bronzo Medio - Età del Bronzo finale	40.642609	9.325389		

Bibliografia: EEM 1922; TARAMELLI 1931; TARAMELLI 1939; BALTOLU 1973; BALTOLU 1997; LILLIU 1988; MANCINI 2015; MORAVETTI *et al.* 2014; MORAVETTI *et al.* 2017a; MORAVETTI *et al.* 2017b; MOSAICO 2016, s.v. 'Alà dei Sardi'; SGP; ViR.



5.2 Comune di Bitti

N.	Denominazione	Cronologia	Latitudine	Longitudine	Vincolo	Carta del Rischio
1	BITTI, centro abitato	Età medievale - Età contemporanea	40.477683	9.382978		
2	Area fortificata di Tepilora	Età del Bronzo Medio - Età del Bronzo finale	40.641732	9.499258		
3	Area materiali mobili Carreri-Seris	Età nuragica - Età romana	40.521372	9.284829		
4	Area materiali mobili Dure	Età nuragica - Età romana	40.478981	9.403962		
5	Area materiali mobili Juane Pala-Orghè	Età romana	40.483772	9.372146		
6	Area materiali mobili Muru 'e Colovras	Età nuragica - Età romana	40.511358	9.339968		
7	Area materiali mobili Pranu 'e Cheddai/Sos Conzinos	Età romana con possibili antecedenti punici	40.597792	9.467954		
8	Area materiali mobili Sa Ichedda-Mariane Udda	Età nuragica - Età romana	40.490323	9.327130		
9	Area materiali mobili Sa Icu Ruia	Età romana imperiale	40.527926	9.300760		
10	Area materiali mobili Sa Pathata	Età romana	40.513295	9.327383		
11	Area materiali mobili S. Gorme-S. Cosimo	Età nuragica - Età romana	40.489316	9.392968		
12	Area materiali mobili S'Adde	Età romana	40.51454	9.368551		
13	Area materiali mobili S. Pietro	Età romana	40.478146	9.379123		
14	Area materiali mobili Siddi	Età nuragica - Età romana	40.496103	9.405056		
15	Area materiali mobili Luvonneri-Ispatula	Età nuragica - Età romana	40.506582	9.318239		
16	Area di materiali mobili Nodu Carreris	Età nuragica - Età romana	40.521893	9.285657		
17	Area funeraria Pranu 'e Cheddai	Età romana	40.594502	9.464067		
18	Chiesa di S. Stefano	Età medievale	40.478711	9.401235		Si
19	Chiesa de Santu Juane 'e s'Ena	Età sei-settecentesca	40.499403	9.346116		
20	Chiesa della Santissima Trinità (Babbu Mannu)	Età medievale	40.477579	9.403093		Si
21	Chiesa N. S. di Bonaria	Età settecentesca	40.474002	9.384526		



22	Chiesa di S. Maria di Dure	Età medievale	40.477210	9.402701		Si
23	Chiesa di S. Lucia	Età medievale	40.480271	9.401044		Si
24	Chiesa di S. Giorgio Dure (o di Suelli)	Età medievale	40.479348	9.404601		Si
25	Chiesa di S. Anna (rudere)	Età medievale	40.474991	9.377135		
26	Chiesa di S. Cosma e Damiano-rovine	Età medievale	40.488808	9.392744		
27	Chiesa della Santissima Annunziata	Età secentesca	40.594911	9.484917		Si
28	Chiesa di Bonu Caminu	Età secentesca	40.478186	9.378156		
29	Chiesa di S. Elia	Età medievale	40.475112	9.389440		
30	Chiesa di S. Giovanni Battista	Età secentesca	40.472770	9.405175		
31	Cuile Delogu	Età moderna	40.510076	9.295109		
32	Domus de janas di Eritza	Età Neo - Eneolitica	40.605701	9.510846		
33	Domus de janas di Monte Ruiu o Serra Ruia	Età Neo - Eneolitica	40.487921	9.376145		
34	Fonte di Orolia	Età nuragica	40.493089	9.396129		
35	Funtana Nuche 'e Gadde	Età non precisata	40.484348	9.394213		
36	Insedimento di Abbas de Frau	Età romana	40.571113	9.378005		
37	Insedimento di Bonu Caminu	Età nuragica - Età romana	40.478644	9.378536		
38	Insedimento Dure-Santa Lucia	Età romana	40.478969	9.404977		
39	Insedimento di Siddi-Siddu	Età nuragica - Età romana	40.498014	9.404879		
40	Insedimento di Galili	Età nuragica	40.542596	9.405726		
41	Insedimento romano Gata Frantziscu	Età romana	40.531639	9.360214		
42	Insedimento Riu 'e S'Adde	Età Neo - Eneolitica	40.512729	9.360231		
43	Insedimento nuragico di Ortuidda	Età del Bronzo Medio - Età del Bronzo finale	40.573850	9.386739		
44	Insedimento romano Serra Sa Icu	Età romana	40.519843	9.324924		
45	Insedimento nuragico e romano di Tuturchi	Età nuragica - Età romana	40.526350	9.366289		
46	Insedimento romano di Tuturchi	Età romana	40.527676	9.362885		



47	Menhir S'Ena I-II	Età Neo - Eneolitica	40.499780	9.324839		
48	Menhir S'Ispatula	Età Neo - Eneolitica	40.508611	9.324444	Si	
49	Nuraghe Siddu (Siddi)	Età del Bronzo Medio - Età del Bronzo finale	40.496063	9.405042		
50	Nuraghe Cheddai e insediamento (o Pranu 'e Cheddai)	Età del Bronzo Medio - Età del Bronzo finale	40.593825	9.461437	Si	Si
51	Nuraghe Curtu	Età del Bronzo Medio - Età del Bronzo finale	40.551266	9.358229		
52	Nuraghe Dure	Età del Bronzo Medio - Età del Bronzo finale	40.479807	9.403781		
53	Nuraghe Ghellai	Età del Bronzo Medio - Età del Bronzo finale	40.467306	9.398490		
54	Nuraghe Lanzanis	Età del Bronzo Medio - Età del Bronzo finale	40.482656	9.313225		
55	Nuraghe Lassanis	Età del Bronzo Medio - Età del Bronzo finale	40.484216	9.303821		
56	Nuraghe Luitze	Età del Bronzo Medio - Età del Bronzo finale	40.459894	9.376272		
57	Nuraghe e insediamento Netossila-Funtana Etza	Età del Bronzo Medio - Età del Bronzo finale	40.548770	9.349960		
58	Nuraghe Oloustes (Su Marchesi)	Età del Bronzo Medio - Età del Bronzo finale	40.499820	9.421199		
59	Nuraghe Ortai	Età del Bronzo Medio - Età del Bronzo finale	40.546527	9.394613		
60	Nuraghe Ortuidda	Età del Bronzo Medio - Età del Bronzo finale	40.573482	9.386277		
61	Nuraghe Solle	Età del Bronzo Medio - Età del Bronzo finale	40.558115	9.349052		
62	Nuraghe Tuturchi	Età del Bronzo Medio - Età del Bronzo finale	40.526304	9.366620		
63	Nuraghe Murere	Età del Bronzo Medio - Età del Bronzo finale	40.493232	9.429160		
64	Nuraghe Muru 'e Colovras	Età del Bronzo Medio - Età del Bronzo finale	40.511042	9.340132		
65	Nuraghe e villaggio S'Ena	Età del Bronzo Medio - Età del Bronzo finale	40.499673	9.324567		



66	Pinnetta Lassina	Età moderna	40.502614	9.303078		
67	Ponte Lithos	Età medievale?	40.658270	9.428050		
68	Pozzo in pietra	Età non precisabile	40.488426	9.395028		
69	Recinto megalitico Sa Pathata	Età del Rame-Età del Bronzo?	40.511121	9.331740		
70	Recinto megalitico S'Ispatula-Luvonneri	Età del Bronzo Medio - Età del Bronzo finale	40.508934	9.331045		
71	Ruderi romani Solle	Età romana	40.541540	9.340596		
72	Strada romana, tratto Sa Pathata	Età romana	40.508269	9.317586		
73	Tomba di giganti di Ortai	Età del Bronzo Medio - Età del Bronzo finale	40.545791	9.393770		
74	Tomba di giganti Ascusogliu	Età del Bronzo Medio - Età del Bronzo finale	40.469357	9.399575		
75	Tomba di giganti Coccoeroddi (Guore)	Età del Bronzo Medio - Età del Bronzo finale	40.508690	9.361165		
76	Tomba di giganti Nettosila (Nitossila)	Età del Bronzo Medio - Età del Bronzo finale	40.551068	9.358405		
77	Tomba di giganti Sa Pathata	Età del Bronzo Medio - Età del Bronzo finale	40.512434	9.332585		
78	Tomba di giganti Su Pranu	Età del Bronzo Medio - Età del Bronzo finale	40.493305	9.421976		
79	Tombe di giganti Su Pradu	Età del Bronzo Medio - Età del Bronzo finale	40.493774	9.421527		
80	Tomba di giganti Oloustes	Età del Bronzo Medio - Età del Bronzo finale	40.493439	9.422009		
81	Tomba di giganti Solle_Marras	Età del Bronzo Medio - Età del Bronzo finale	40.560115	9.345956		
82	Tomba di giganti Tuturchi	Età del Bronzo Medio - Età del Bronzo finale	40.525434	9.368185		
83	Villaggio nuragico Su Romanzesu	Età del Bronzo Medio - Età del Bronzo finale	40.53031	9.325282	Si	Si

Bibliografia: ANGIUS 1834a; NISSARDI 1903; EEM 1922; LILLIU 1988; TARAMELLI 1919a; TARAMELLI 1931; TARAMELLI 1933; SANNA 2005; TURTAS, LUPINU 2005; MORAVETTI *et al.* 2014; MOSAICO 2016, s.v.'Bitti'; ANGIOLILLO *et al.* 2017; MORAVETTI *et al.* 2017a; DELUSSU 2018; MARRAS 2020; ISCR; SGP; VIR; TEPILORA.



5.3 Comune di Buddusò

N.	Denominazione	Cronologia	Latitudine	Longitudine	Vincolo	Carta del Rischio
1	Cuile Ololvica	Età moderna	40.578837	9.332218		
2	Domus de janas di Pischina Mulino	Età Neo - Eneolitica	40.552295	9.306329		
3	Domus de janas Monte Colvos (Sa Conchedda de Sa Femina)	Età Neo - Eneolitica	40.589317	9.343330		
4	Domus de janas Su Puzzone I-II	Età Neo - Eneolitica	40.590888	9.335548		
5	Dolmen Sa Codina 'e Sa Matta Oe	Età Neo - Eneolitica	40.575223	9.304138		
6	Dolmen Istiddi	Età Neo - Eneolitica	40.567823	9.326851	Sì	
7	Dolmen Su Laccu	Età Neo - Eneolitica	40.582495	9.292630		
8	Dolmen o Allée couverte Loelle	Età Neo - Eneolitica	40.568656	9.314174		
9	Domus de janas Tazone	Età Neo - Eneolitica	40.587482	9.326740		Sì
10	Dolmen Molimentos I	Età Neo - Eneolitica	40.544802	9.289993	Sì	
11	Dolmen Molimentos II	Età Neo - Eneolitica	40.544786	9.289167		
12	Dolmen Orunitta	Età Neo - Eneolitica	40.553300	9.362799		
13	Dolmen Sa Tumba 'e Sa Piga	Età Neo - Eneolitica	40.565894	9.318887		Sì
14	Fonte e villaggio di Sos Muros	Età del Bronzo Medio - Età del Bronzo finale	40.556771	9.296823	Sì	Sì
15	Menhir Molimentos	Età Neo - Eneolitica	40.545880	9.289782		
16	Nuraghe Eligannele	Età del Bronzo Medio - Età del Bronzo finale	40.570024	9.276404		
17	Nuraghe Locorona	Età del Bronzo Medio - Età del Bronzo finale	40.565655	9.291929		
18	Nuraghe Loelle	Età del Bronzo Medio - Età del Bronzo finale	40.568547	9.315968	Sì	Sì
19	Nuraghe Teltoro, Insedimento	Età del Bronzo Medio - Età del Bronzo finale	40.578267	9.273857		
20	Nuraghe-Pinnetta Colonna (Nuraghe Lorisca?)	Età del Bronzo Medio - Età del Bronzo finale	40.561615	9.269225		



21	Nuraghe Pradinu	Età del Bronzo Medio - Età del Bronzo finale	40.578037	9.276724		
22	Nuraghe Torroilè	Età del Bronzo Medio - Età del Bronzo finale	40.565845	9.326048	Sì	Sì
23	Pinnetta Cocco	Età moderna	40.561885	9.274251		
24	Pinnetta Satta	Età moderna	40.555341	9.283661		
25	Pinnetta Puliga	Età moderna	40.553000	9.280250		
26	Pozzo su Utiu de Oloviga	Età del Bronzo Medio - Età del Bronzo finale	40.575379	9.331722		
27	Punta Olovica, strutture nuragiche	Età del Bronzo Medio - Età del Bronzo finale	40.580852	9.331680		
28	Struttura muraria	Età non precisabile	40.580425	9.334118		Sì
29	Strutture romane (resti)	Età romana	40.569302	9.331715		Sì
30	Tomba di giganti Corrinca	Età del Bronzo Medio - Età del Bronzo finale	40.542880	9.277846		
31	Tomba di giganti Loelle I	Età del Bronzo Medio - Età del Bronzo finale	40.562492	9.316233		Sì
32	Tomba di giganti Loelle II	Età del Bronzo Medio - Età del Bronzo finale	40.566773	9.317940		Sì

Bibliografia: ANGIUS 1834b; EEM 1922; TARAMELLI 1919b; TARAMELLI 1931; LILLIU 1962; LILLIU 1988; BASOLI 1991; BASOLI 1993; TUCCONE 2009; MORAVETTI *et al.* 2014; MOSAICO 2016, s.v. 'Buddusò'; ANGIOLILLO *et al.* 2017; GUIRGUIS 2017; MORAVETTI *et al.* 2017a; MORAVETTI *et al.* 2017b; COOP ARCHEO 2018; DELUSSU 2018; MARRAS 2020; ISCR; SGP; ViR.

5.4 Comune di Lodè

N.	Denominazione	Cronologia	Latitudine	Longitudine	Vincolo	Carta del Rischio
1	LODE', centro abitato	Età medievale - Età contemporanea	40.591392	9.539111		
2	Allée couverte Monti Prana	Età Neo - Eneolitica	40.583535	9.509814		
3	Area materiali mobili di Thilameddu	Età preistorica - Età medievale	40.556531	9.522708		



4	Dispensa Guletti (rudere)	Età moderna	40.619684	9.524607		
5	Domus de janas Costimili	Età Neo - Eneolitica	40.591288	9.502298		
6	Domus de janas Gianna Oriavula	Età Neo - Eneolitica	40.597188	9.510615		
7	Domus de janas Ispichines	Età Neo - Eneolitica	40.587613	9.480847		
8	Domus de janas Orrili	Età Neo - Eneolitica	40.556528	9.533303		
9	Domus de janas Sas Ruchittas	Età Neo - Eneolitica	40.541374	9.543126		
10	Fonte Banzos	Età non precisabile	40.558274	9.513910		
11	Insediamiento preistorico e romano di Sos Lottos	Età del Rame-Età nuragica	40.591934	9.507042		
12	Insediamiento nuragico Su Casteddu	Età del Bronzo Medio - Età del Bronzo finale	40.590694	9.536245		
13	Insediamiento nuragico Su Mattone	Età del Bronzo Medio - Età del Bronzo finale	40.595326	9.526154		
14	Insediamiento nuragico Sa Ichedda	Età del Bronzo Medio - Età del Bronzo finale	40.542861	9.539324		
15	Insediamiento nuragico Sas Seddas	Età del Bronzo Medio - Età del Bronzo finale	40.549390	9.558615		
16	Muraglia preistorica Monte Prana	Età del Rame	40.583633	9.509886		
17	Nuraghe Melas (Norchiri)	Età del Bronzo Medio - Età del Bronzo finale	40.582396	9.520688		
18	Nuraghe Su Nuragheddu	Età del Bronzo Medio - Età del Bronzo finale	40.623209	9.560436		
19	Nuraghe Thorra	Età del Bronzo Medio - Età del Bronzo finale	40.564725	9.507663		
20	Protonuraghe Janna Bassa	Età del Bronzo Medio - Età del Bronzo finale	40.566916	9.533209		
21	Struttura di Sas Seddas 4	Età nuragica, identificazione dubbia	40.541700	9.554324		
22	Tomba di giganti Araene	Età del Bronzo Medio - Età del Bronzo finale	40.578814	9.564141		
23	Tomba di giganti Melas (Norchiri)	Età del Bronzo Medio - Età del Bronzo finale	40.583535	9.523840		
24	Tomba di giganti Pirelca	Età del Bronzo Medio - Età del	40.634199	9.556885		



		Bronzo finale				
25	Tomba megalitica Sas Seddas 1	Età del Bronzo Medio - Età del Bronzo finale	40.543167	9.552742		
26	Tomba di giganti Sas Seddas 2	Età del Bronzo Medio - Età del Bronzo finale	40.544035	9.555736		
27	Tomba di giganti Sas Seddas 3	Età del Bronzo Medio - Età del Bronzo finale	40.544170	9.555797		
28	Tomba di giganti Thorra	Età del Bronzo Medio - Età del Bronzo finale	40.565771	9.505202		

Bibliografia: ANGIUS 1841a; EEM 1922; TARAMELLI 1933; LILLIU 1988; MELIS 2009; MOSAICO 2016, s.v. 'Lodè'; GUIRGUIS 2017; ISCR; SGP; ViR; TEPIORA.

5.5 Comune di Lula

N.	Denominazione	Cronologia	Latitudine	Longitudine	Vincolo	Carta del Rischio
1	LULA, centro abitato	Età medievale - Età contemporane	40.469562	9.486916		sì
2	Area materiali mobili Molimentos	Età romana	40.476161	9.492284		
3	Area materiali mobili S'Ena	Età romana	40.476576	9.470663		
4	Miniera Argentaria (ruderi)	Età moderna	40.509417	9.516228		sì
5	Nuraghe de S'Ena (Cuccuru de S'Urvare)	Età del Bronzo Medio - Età del Bronzo finale	40.476748	9.468139		
6	Miniera Guzzura (ruderi)	Età moderna	40.505280	9.506566		sì

Bibliografia: ANGIUS 1841b; NISSARDI 1903; EEM 1922; TARAMELLI 1933; LILLIU 1988; MORAVETTI *et al.* 2014; MOSAICO 2016, s.v. 'Lula'; MORAVETTI *et al.* 2017a; DELUSSU 2018; ISCR; SGP; ViR.

5.6 Comune di Onani

N.	Denominazione	Cronologia	Latitudine	Longitudine	Vincolo	Carta del Rischio
----	---------------	------------	------------	-------------	---------	-------------------



1	ONANI', centro abitato	Età medievale - Età contemporane	40.484125	9.441006		
2	Area materiali mobili Masicare	Età romana	40.475047	9.458796		
3	Chiesa di S. Bachisio	Età medievale	40.513417	9.471912		
4	Chiesa di S. Francesco	Età secentesca	40.482078	9.442298		
5	Chiesa di Santu Gainzu-rovine	Età medievale	40.482381	9.435178		
6	Chiesa dei SS. Cosma e Damiano	Età moderna	40.482443	9.445542		
7	Chiesa di S. Elena	Età medievale	40.476107	9.447914		
8	Chiesa di S. Maria	Età secentesca	40.482411	9.441596		
9	Chiesa di S. Pietro	Età medievale	40.483973	9.438197	Si	Si
10	Domus de janas Masicare	Età Neo - Eneolitica	40.475785	9.461278		
11	Nuraghe Crastuiacone	Età del Bronzo Medio - Età del Bronzo finale	40.472007	9.434132		
12	Nuraghe Liri	Età del Bronzo Medio - Età del Bronzo finale	40.587257	9.494965		
13	Nuraghe Lapasiu	Età del Bronzo Medio - Età del Bronzo finale	40.505881	9.466418		
14	Nuraghe Nuragheddu I (Nuragheddu di Bioltai)	Età del Bronzo Medio - Età del Bronzo finale	40.569997	9.475310		
15	Nuraghe Nuragheddu II (Nuraghe Fruncu de Avria (Iaccu Ena)	Età del Bronzo Medio - Età del Bronzo finale	40.517485	9.461835		
16	Nuraghe S'Ae Pinta (Maindreu)	Età del Bronzo Medio - Età del Bronzo finale	40.483213	9.455406		
17	Nuraghe Salamitti	Età del Bronzo Medio - Età del Bronzo finale	40.502865	9.445342		
18	Nuraghe S. Pietro	Età del Bronzo Medio - Età del Bronzo finale	40.483886	9.437370		Si
19	Pozzo sacro Muros d'Avria	Età del Bronzo Medio - Età del Bronzo finale	40.517097	9.461880		
20	Ruderi Sa Chidade	Età del Bronzo Medio - Età del Bronzo finale	40.545560	9.435575		
21	Tomba di giganti Maindreu (Tanca Rettorale)	Età del Bronzo Medio - Età del Bronzo finale	40.483222	9.455406		



22	Tomba di giganti Orthiddai	Età del Bronzo Medio - Età del Bronzo finale	40.546259	9.486007		
23	Tomba di giganti S. Bachisio	Età del Bronzo Medio - Età del Bronzo finale	40.515183	9.474072		
24	Tomba di giganti S'Iskra de Su Calzone	Età del Bronzo Medio - Età del Bronzo finale	40.575640	9.497987		

Bibliografia: ANGIUS 1845a; EEM 1922; TARAMELLI 1933; BALTOLU 1973; BALTOLU 1997; LILLIU 1988; MANCINI 2015; MOSAICO 2016, s.v. 'Onani'; DELUSSU 2018; ISCR; SGP; ViR.

5.7 Comune di Osidda

N.	Denominazione	Cronologia	Latitudine	Longitudine	Vincolo	Carta del Rischio
1	Nuraghe Frazuighe e insediamento pluristratificato	Età del Bronzo Medio - Età del Bronzo finale	40.524821	9.281597		
2	Nuraghe Sa Raighina	Età del Bronzo Medio - Età del Bronzo finale	40.516409	9.280570		
3	Nuraghe Seris	Età del Bronzo Medio - Età del Bronzo finale	40.524059	9.283978		

Bibliografia: ANGIUS 1845b; EEM 1922; TARAMELLI 1931; LILLIU 1988; ZIROTTU 2005; MOSAICO 2016, s.v. 'Osidda'; DELUSSU 2018; MARRAS 2020; ISCR; SGP; ViR.

5.8 BENI STORICO CULTURALI NELL'AREA OGGETTO DI INTERVENTO

5.8.1 CARATTERI GENERALI DELL'OPERA

L'impianto comprende complessivamente 11 aerogeneratori ad asse orizzontale con rotore tripala e una potenza massima di 6,2 MW (limitata a 5,09 MW) le cui caratteristiche principali sono di seguito riportate:

- diametro massimo rotore tripala pari a 170 m;
- torre di sostegno tubolare troncoconica in acciaio, avente altezza fino all'asse del rotore pari a massimi 119 m;
- altezza complessiva massima fuori terra dell'aerogeneratore pari a 200,0 m;
- diametro massimo alla base del sostegno tubolare 4,7 m.

La trincea per la posa dei cavidotti prevede una profondità di circa 1,30 m e una larghezza di cm. 80 alla partenza dalle turbine sino a cm 130 in quella che arriva in centrale. Nelle aree degli aerogeneratori la profondità di scavo per la posa della platea del plinto scavo è di circa m 2.



5.8.2 I DATI D'ARCHIVIO

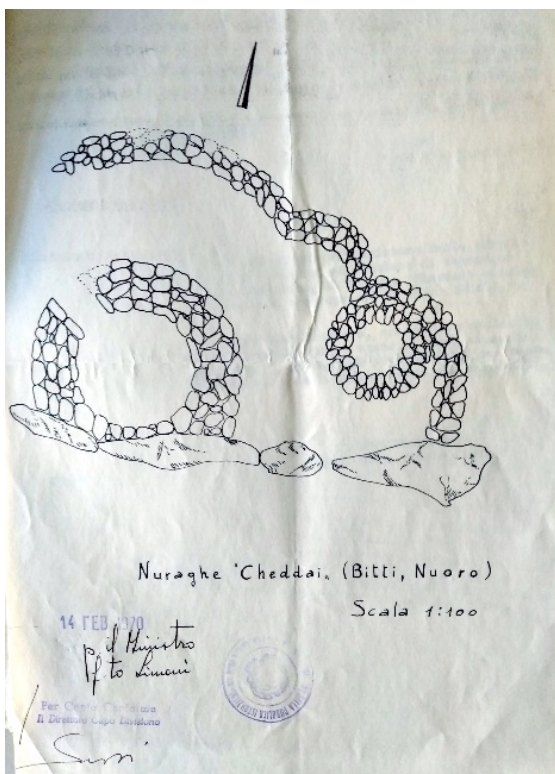
La ricognizione della documentazione disponibile presso l'archivio della Soprintendenza Archeologia, belle arti e paesaggio per le province di Sassari e Nuoro è stata effettuata in data 26/06/2020.

I materiali consultabili erano contenuti all'interno di diversi faldoni: di questi, due erano riferibili al Comune di Bitti, con informazioni fra gli anni '60 del Novecento e i primi anni del secolo corrente, aperte da un'edizione dell'EEM di Bitti (Elenco degli Edifici Monumentali) del 7 giugno 1902, dono Forteleoni, con elenco comprendente i nuraghi Istelai, Siddu, Ortai e Ortuidda, oltre a due monumenti in territorio del comune di Lodè. Per quanto riguarda il comune di Buddusò, si sono potuti esaminare quattro faldoni, anch'essi con informazioni fra gli anni '60 del Novecento e i primi anni del secolo corrente.

In linea generale, accanto alle notizie strettamente archeologiche, sono presenti informazioni relative alle pratiche autorizzative espresse dagli Uffici di tutela sui diversi interventi di reti infrastrutturali (energia elettrica, acqua, rete stradale e ferroviaria, interventi urbanistici) e degli assetti produttivi del territorio, in particolare fondi agricoli, di allevamento e pastorale a Bitti e Buddusò e le cave di granito nel territorio di sempre di Buddusò, le proposte e i provvedimenti di vincolo. Queste autorizzazioni rivelano in particolare la loro utilità nel dichiarare di fatto la non sussistenza di emergenze archeologiche nelle aree specifiche oppure il grado di possibile compatibilità fra emergenze ed interventi richiesti.

5.8.3 Comune di Bitti

Le notizie archeologiche sono numerose e riferiscono di un'ampia rete monumentale, con prevalente presenza nuragica, ma anche di età romana, e diffuse attestazioni di insediamenti scomparsi fra preistoria e Medioevo. Sono riportate informazioni di una forte opera di danneggiamento ad opera dei cosiddetti 'tombaroli', contro la quale, oltre alla Soprintendenza, agiscono il Corpo Forestale e giovani specialisti coinvolti in attività di censimento. Non mancano le segnalazioni di privati cittadini.



Per i monumenti che riguardano più direttamente il presente progetto, nell'EEM del 1902 sono citati:

- il nuraghe Ortai (a nord dell'aerogeneratore n. 8, coordinate 40.546527°, 9.394613°), con stato di conservazione 'mediocre';
- il nuraghe Ortuidda (a nord tracciato cavidotto dorsale, coordinate 40.573482°, 9.386277°), definito come 'mal conservato'.

Sempre per i monumenti riguardanti le installazioni di Bitti-Terenass, sono indicate azioni di danneggiamento nei seguenti monumenti:

- nuraghe Cheddai (da identificare con il monumento vincolato dal D.M. 14.02.1970, L. 01.06.1939. n. 1089.artt. 2-3, nei nostri elenchi indicato come 'Nuraghe Cheddai e insediamento (o Pranu 'e Cheddai)'; segnalazione danneggiamento del Corpo Forestale di Bitti, Prot. N. 10166 del 23.11.1993.
- nuraghe Ortuidda (nella stessa precedente segnalazione, con uguale numero di protocollo e data).



Del citato nuraghe Cheddai, il provvedimento di vincolo archeologico del 14.02.1970 (fascicolo Bitti, S.F.4, registrato in Conservatoria il 31 marzo successivo) viene accompagnato da una sintetica planimetria. Il vincolo era stato sollecitato dal 1969 con apposita richiesta del Soprintendente Archeologo Ercole Contu (24.11.1969. fascicolo Bitti, S.F.4).

5.8.4 Comune di Buddusò

I dati archeologici, assai numerosi, mostrano un territorio attraversato da episodi neolitici, nuragici, fenicio-punici, romani e medievali.

Di particolare rilievo – come indicano diversi interventi e una lettera del Soprintendente Fulvia Lo Schiavo (13.3.1985) - la presenza preistorica di *dolmen*, *menhir* e *allèes couvertes* e il problema dell'identificazione del sito di Sos Muros con la *statio* romana Caput Thyrsi.

Anche nel territorio buddusoino è segnalata ripetutamente la forte opera di danneggiamento clandestino, contro la quale, oltre alla Soprintendenza, agiscono il Corpo Forestale, sacerdoti attivi in archeologia come G. B. Demelas e attivisti coinvolti in numerose segnalazioni e nell'organizzazione in attività di censimento (prot. 1737, 13.03.1985). Non mancano anche in questo caso le segnalazioni di privati cittadini.

Per quanto concerne i monumenti che riguardano le aree più prossime e relative agli impianti e alle infrastrutture del presente progetto, numerosi gli interventi al nuraghe Loelle, lungo la parte finale del cavidotto dorsale. Oltre al vincolo sul monumento (D.M. 02.02.1962, L. 01.06.1939. n. 1089. artt. 1, 4.), si segnalano interventi di risistemazione del rilevante complesso monumentale (cartella 1 fasc. 4, prot. 8263 del 24.06.2004).

5.9 LA CARTA DEL RISCHIO

La Carta del Rischio, messa a punto dall'ISCR (ex ICR, Istituto Centrale del Restauro), del MiBACT, è un importante sistema costruito per conoscere e registrare il rischio di danno dei beni immobili facenti parte del patrimonio culturale consistente in un sistema di banche dati in grado di strutturare informazioni sui potenziali fattori di rischio dei vari beni.

La strutturazione della banca dati è stata operata in particolare acquisendo dalla Soprintendenze territoriali elenchi di beni monumentali vincolati fino al 2004, oppure con la collaborazione di Università italiane ed enti culturali. È presente un rilevante numero di monumenti di diverso comuni della Sardegna, tra cui anche quelli dell'area vasta e specifica interessati dall'opera in oggetto. Nel sito web relativo è presente il collegamento con il sito "Vincoli in Rete".

Si dà qui di seguito l'elenco dei monumenti di area vasta presenti nella 'Carta del Rischio'.

COMUNE	NOME MONUMENTO	CODICE CDR
ALA' DEI SARDI	Nuraghe Antoniarrù	1RTI0900005AAAA
ALA' DEI SARDI	Nuraghe Boddò	1RTI0900007AAAA
ALA' DEI SARDI	Nuraghe Bucca 'e Mandra	1RTI0900008AAAA
ALA' DEI SARDI	Nuraghe Lattari	1RTI0900011AAAA
ALA' DEI SARDI	Nuraghe Malcheddine	1RTI0900010AAAA
ALA' DEI SARDI	Tomba di giganti Sas Tumbas	1RTI0900015AAAA
BITTI	Chiesa di S. Lucia	2ICR0019375AAAA
BITTI	Chiesa di S. Stefano	2ICR00193720000
BITTI	Chiesa della Santissima Trinità (Babbu Mannu)	2ICR0019374AAAA
BITTI	Chiesa di S. Maria di Dure	2ICR0019373AAAA
BITTI	Chiesa di S. Giorgio Dure (o di Suelli)	2ICR0019376AAAA
BITTI	Chiesa della Santissima Annunziata	2ICR00195100000



BITTI	Nuraghe Cheddai e insediamento (o Pranu 'e Cheddai)	1RTI0910018AAAA
BITTI	Villaggio nuragico Su Romanzesu	1RTI0910019AAAA
BUDDUSO'	Dolmen o Allée couverte Loelle	1ICR00273590002
BUDDUSO'	Dolmen Sa Tumba 'e Sa Piga	1RTI0900146AAAA
BUDDUSO'	Fonte e villaggio di Sos Muros	1RTI0900145AAAA
BUDDUSO'	Nuraghe Loelle	1ICR00273590000
BUDDUSO'	Nuraghe Torroilè	1ICR00273610000
BUDDUSO'	Struttura muraria	1ICR00273610001
BUDDUSO'	Strutture romane (resti)	1ICR0027360AAAA
BUDDUSO'	Tomba di giganti Loelle I	1ICR00273590001
BUDDUSO'	Tomba di giganti Loelle II	1ICR00273590001
LULA	LULA, centro abitato	2ICR0019515AAAA
LULA	Miniera Argentaria (ruderi)	2ICR0019522AAAA
LULA	Miniera Guzzura (ruderi)	2ICR0019520AAAA
ONANI'	Chiesa di S. Pietro	2ICR00196010000
ONANI'	Nuraghe S. Pietro	1ICR0019602AAAA

5.10 I VINCOLI

“Vincoli in Rete” è un sistema realizzato anch’esso dall’ISCR del MiBACT che si rivolge sia agli specialisti che all’utenza pubblica. Il progetto consente di accedere alla consultazione delle informazioni sui beni architettonici e archeologici attraverso diverse chiavi di ricerca semplice e avanzata. I dati, di tipo alfanumerico e georeferenziato, hanno utilizzato i dati d’archivio della Soprintendenza Archeologica, belle arti e paesaggio di Sassari e Nuoro.

Nella presente relazione sia “Vincoli in Rete” che la “Carta del Rischio” sono stati ampiamente utilizzati per incrociare, confermare e integrare una serie di dati già noti. Si dà qui di seguito l’elenco dei vincoli esistenti nei monumenti di area vasta qua mappati.

COMUNE	NOME MONUMENTO	DATA PROVVEDIMENTO
ALA' DEI SARDI	Nuraghe Antoniarrù	D.M. 24.11.1969. L. 01.06.1939. n. 1089. artt. 1-2.
ALA' DEI SARDI	Nuraghe Boddò	D.M. 02.02.1970, L. 01.06.1939. n. 1089. artt.2-3
ALA' DEI SARDI	Nuraghe Lattari	D.M. 15.04.1992 (ampliamento vincolo diretto ex D.M. 24.11.1969), L. 01.06.1939. n. 1089. artt.1-3
ALA' DEI SARDI	Nuraghe Malcheddine	D.M. 01.05.1969. L. L. 01.06.1939. n. 1089. artt.2-3
ALA' DEI SARDI	Pozzo di Su Posidu	D.M. 09.09.1969. L. 01.06.1939. n. 1089. artt.2-3
ALA' DEI SARDI	Tomba di giganti Sas Tumbas	D.M. 09.09.1969. L. 01.06.1939. n. 1089. artt.2-3
BITTI	Menhir S'Ispatula	D.M. 26.03.2010, D. Lgs. 22.01.2004, art. 16 D.
BITTI	Nuraghe Cheddai e insediamento (o Pranu 'e Cheddai)	D.M. 14.02.1970, L. 01.06.1939. n. 1089.artt. 2-3.



BITTI	Villaggio nuragico Su Romanzesu	D.M. 25.02.1964, L. 01.06.1939. n. 1089. artt. 2-3 (Fonte nuragica di Poddi Arvu).
BUDDUSO'	Dolmen Sa Codina 'e Sa Matta Oe	D.M. 27.10.1964, L. 01.06.1939. n. 1089 (declaratoria)
BUDDUSO'	Dolmen Istiddi	D.M. 27.10.1964; D.M. 16.03.1966, L. 01.06.1939. n. 1089. artt. 1, 2, 11.
BUDDUSO'	Dolmen Molimentos I	D.M. 13.05.1964, L. 01.06.1939. n. 1089. artt. 1, 2, 11 (declaratoria)
BUDDUSO'	Fonte e villaggio di Sos Muros	D.M. 16.01.1964, L. 01.06.1939. n. 1089. artt. 4, 11 (declaratoria).
BUDDUSO'	Nuraghe Loelle	D.M. 02.02.1962, L. 01.06.1939. n. 1089. artt. 1, 4.
BUDDUSO'	Nuraghe Torroilè	D.M. 03.02.1986; D.M. 29.02.1988, L. 01.06.1939. n. 1089. artt. 1-2, 11, 21 (declaratoria; v. diretto).
ONANI'	Chiesa di S. Pietro	D.M. 30.11.1966, L. 01.06.1939. n. 1089. artt. 1, 4, 21.

5.11 LA CARTOGRAFIA STORICA (TAVV. II-IV)

La cartografia consultata conferma l'importanza e le localizzazioni di alcuni dei luoghi più significativi incontrati nell'analisi della documentazione.

I documenti qua proposti vanno dall'Ottocento alla metà del Novecento. Il primo è una carta ottocentesca pubblicata nell' "Atlas" di Alberto Della Marmora: si tratta di Sezioni del La Marmora/De Candia per la Carta della Sardegna, 1:50.000 realizzate tra il 1835-1838 (rilievo), stampate nel marzo 1840 da Desbuisson a Parigi ed edite nel come Atlante della Sardegna nel luglio 1884. In esse viene data particolare evidenza alle chiese collegate ai villaggi scomparsi, nei pressi dei centri abitati maggiori.

Il secondo documento è una carta IGM 1:25000, realizzata tra il 1884-1919 in prima stesura, della quale si propone uno stralcio relativo all'area affrontata progettualemente più da vicino.

Sono indicati alcuni punti rilevanti come Pranu Cheddai, i nuraghi Ortuidda e Ortai e le sorgenti del Tirso con la relativa fonte di Abbas de Frau. Appare definito storicamente lo snodo, con relativa stradaria di collegamento a Bitti, della colonia penale ottocentesca di Mamone, non presente ovviamente nella carta precedente essendo stati consegnati i lavori definitivi della sua costruzione nel 1890.

Ancora all'Ottocento sono attribuibili due carte del 'cessato catasto'⁹ (*Buddusò tavoletta FU e Buddusò tavoletta 13*), databili al 31 dicembre del 1848 e riguardanti l'area orientale di Buddusò, ancora con la notazione della fonte di Abbas de Frau. Si tratta, come recitano le descrizioni, di una tavola della "Giurisdizione territoriale del comune di Buddusò" (tavoletta FU) e di una "porzione di territorio attraversata dal fiume Tirso e dalla strada che va da Buddusò a Lodè. La regione comprende un'area comunale detta Sa Matta." (tavoletta 18).

⁹ Archivio di Stato di Cagliari.



Si allega infine l'unione di due stralci delle carte archeologiche su base IGM 1:100.000 pubblicate fra il 1931 ed il 1933 da Antonio Taramelli e riguardanti il territorio qua esaminato, con efficace resa documentale e cartografica.

5.12 LA FOTOINTERPRETAZIONE (TAV. V)

I dati desumibili dalla fotointerpretazione eseguita su immagini zenitali non sono facilmente formalizzabili per via della tessitura territoriale e del manto boschivo e roccioso.

FIPZ 01, Lat. 40.582923 Long. 9.459023

L'immagine è pertinente a un'anomalia ad andamento circolare individuabile fra i primi due aerogeneratori.

FIPZ 02, Lat. 40.582673 Long. 9.447471

L'immagine mostra due anomalie nell'area del terzo aerogeneratore: si tratta, probabilmente, di accumuli artificiali di pietre raccolte in attività di spietramento, come raccontano anche fonti locali, pur se alcuni elementi litici sembrano suggerire una giacitura, se non primaria, di possibile pertinenza archeologica. La bassa visibilità, per quanto temporanea, non ha reso possibile un'analisi autoptica affidabile.

FIPZ 03, Lat. 40.57095 Long. 9.377569

L'immagine è collegata al sito toponomasticamente definito dalla fonte di Frau, relativa ad una delle sorgenti del fiume Tirso, indicato dal Parco di Tepilora come 'Abbas de Frau', inedito insediamento romano: alcune anomalie indicate nella foto suggeriscono la possibile presenza di strutture murarie ad esso pertinenti. La bassa visibilità permanente impedisce al momento una lettura approfondita dell'area.

FIPZ 04, Lat. 40.544466 Long. 9.393673

Nei pressi dell'areale dell'aerogeneratore n. 8 sono ubicati il nuraghe e la tomba di Ortai. Le letture dei siti rendono possibile ipotizzare una potenziale estensione del villaggio. Nella foto alcune anomalie, che non possiamo escludere di riferire a tratti murari, sono leggibili ai margini e nei dintorni dell'area interessata dalla proposta progettuale, anche se l'ipotesi di partizioni moderne a secco è ovviamente da tenere in considerazione. Il denso manto vegetale rende problematica una individuazione più stringente.

5.13 IL SURVEY

I dati del *survey* sono raccolti tramite il MODI – Modulo informativo ICCD¹⁰ per tutta la parte di indagine sul campo e per la sintesi interpretativa data dall'analisi e combinazione delle differenti fonti informative e documentarie. Per ogni Unità di Ricognizione (UR) in cui è stata suddivisa l'area di intervento durante il *survey* in base alla visibilità dei suoli, è stato organizzato un set di informazioni selezionando dal paragrafo RE (Indagini) l'intero campo strutturato RCG e relativi sottocampi, l'intero paragrafo GE (Georeferenziazione) per la determinazione delle coordinate delle UR, mentre dal paragrafo AP (Area di potenziale archeologico) e dal campo strutturato VRP (Valutazione del potenziale archeologico) è stato selezionato il sottocampo VRSP (Valutazione di sintesi) per la registrazione del potenziale archeologico complessivo dell'UR.

Per esigenze di progetto, il *survey* è stato condotto in un arco di tempo compreso fra il 19/06 e il 05/07/2020, da una squadra composta da due archeologi di I fascia e da uno a due operatori di supporto, in un periodo in cui la visibilità dei suoli risente di una serie di fattori legati allo stato vegetativo e ai lavori agricoli, con particolare riferimento alla raccolta delle foraggere, in pieno svolgimento. Va peraltro sottolineato che il territorio conserva ampie estensioni di vegetazione permanente a basso e ad alto fusto per le quali il grado di visibilità risulta essere poco influenzato

¹⁰ Cfr. Circolare MiBACT 01/2006, allegato 3, p. 2, nota 5.



dalla stagionalità: per questo motivo si è ritenuto opportuno precisare per ogni UR, all'interno del grado di visibilità dei suoli al momento del *survey*, la natura temporanea o permanente della vegetazione.

In diversi casi la visibilità bassa temporanea o permanente ha riguardato i limiti delle strade asfaltate di percorrenza, dove la realizzazione della trincea per il passaggio del cavidotto interessa anche tratti già ampiamente rimaneggiati.

Una visibilità migliore, media o alta, si riscontra in alcune aree interessate dal posizionamento degli aerogeneratori e dei cavidotti ad essi collegati (UR6, UR7, UR10, UR11) o in alcuni tratti della dorsale (UR1, UR18).

Si danno di seguito le informazioni strutturate su MODI.



UR1	TAV. VII			
	RCG		RICOGNIZIONE ARCHEOLOGICA	
		RCGV	Denominazione ricognizione	Terenass - cavidotto dorsale - UR1
		RCGD	Riferimento cronologico	19/06 - 5/07/2020
		RCGT	Situazione ambientale	Zona pianeggiante, ai piedi di un pendio sulla cui sommità è ubicato l'aerogeneratore BT04. Sul lato sinistro, le foraggere in parte sfalciate lasciano intravedere il terreno che non presenta anomalie significative. Sul lato destro la vegetazione è coprente, con estensione di foraggere e vegetazione erbacea falciata e a terra. Non si segnalano evidenze archeologiche.
		RCGE	Motivo	verifica preventiva
		RCGM	Metodo	sistematico
		RCGR	Ente responsabile	SABAP SS e NU
		RCGA	Responsabile scientifico	Manca di Mores, Giuseppina
		RCGZ	Note	Lato sinistro: visibilità media. Lato destro: visibilità nulla temporanea
GE			GEOREFERENZIAZIONE	
	GEL		Tipo di localizzazione	localizzazione fisica
	GET		Tipo di georeferenziazione	georeferenziazione lineare
	GEP		Sistema di riferimento	WGS84
	GEC		COORDINATE	
		GECX	Coordinata x	9.434294
		GECY	Coordinata y	40.581824
		GECS	Note	inizio UR
		GECX	Coordinata x	9.438029
		GECY	Coordinata y	40.579039
		GECS	Note	fine UR
	GPT		Tecnica di georeferenziazione	rilievo tramite GPS
	GPM		Metodo di posizionamento	posizionamento esatto
	VRP		VALUTAZIONE DEL POTENZIALE ARCHEOLOGICO	
		VRPS	Valutazione di sintesi	2. potenziale molto basso
UR2	TAV. VIII			
	RCG		RICOGNIZIONE ARCHEOLOGICA	
		RCGV	Denominazione ricognizione	Terenass - cavidotto dorsale - UR2
		RCGD	Riferimento cronologico	19/06 - 5/07/2020
		RCGT	Situazione ambientale	Sulla destra e sulla sinistra della strada, vegetazione erbacea alta coprente, oltre la quale foraggere. Non si segnalano evidenze archeologiche.



		RCGE	Motivo	verifica preventiva
		RCGM	Metodo	sistematico
		RCGR	Ente responsabile	SABAP SS e NU
		RCGA	Responsabile scientifico	Manca di Mores, Giuseppina
		RCGZ	Note	Lato sinistro: visibilità nulla temporanea. Lato destro: visibilità nulla temporanea
GE			GEOREFERENZIAZIONE	
	GEL		Tipo di localizzazione	localizzazione fisica
	GET		Tipo di georeferenziazione	georeferenziazione lineare
	GEP		Sistema di riferimento	WGS84
	GEC		COORDINATE	
		GECX	Coordinata x	9.438029
		GECY	Coordinata y	40.579039
		GECS	Note	inizio UR
		GECX	Coordinata x	9.425150
		GECY	Coordinata y	40.576433
		GECS	Note	fine UR
	GPT		Tecnica di georeferenziazione	rilievo tramite GPS
	GPM		Metodo di posizionamento	posizionamento esatto
	VRP		VALUTAZIONE DEL POTENZIALE ARCHEOLOGICO	
		VRPS	Valutazione di sintesi	2. potenziale molto basso
UR3	TAV. IX			
	RCG		RICOGNIZIONE ARCHEOLOGICA	
		RCGV	Denominazione ricognizione	Terenass - cavidotto dorsale - UR3
		RCGD	Riferimento cronologico	19/06 - 5/07/2020
		RCGT	Situazione ambientale	Su entrambi i lati della strada, alta vegetazione erbacea e in parte rovi. Non si segnalano evidenze archeologiche.
		RCGE	Motivo	verifica preventiva.
		RCGM	Metodo	sistematico
		RCGR	Ente responsabile	SABAP SS e NU
		RCGA	Responsabile scientifico	Manca di Mores, Giuseppina
		RCGZ	Note	Lato sinistro: visibilità nulla temporanea. Lato destro: visibilità bassa temporanea
GE			GEOREFERENZIAZIONE	
	GEL		Tipo di localizzazione	localizzazione fisica
	GET		Tipo di georeferenziazione	georeferenziazione lineare
	GEP		Sistema di riferimento	WGS84
	GEC		COORDINATE	
		GECX	Coordinata x	9.425150
		GECY	Coordinata y	40.576433
		GECS	Note	inizio UR
		GECX	Coordinata x	9.423333



		GECY	Coordinata y	40.575533
		GECS	Note	fine UR
	GPT		Tecnica di georeferenziazione	rilievo tramite GPS
	GPM		Metodo di posizionamento	posizionamento esatto
	VRP		VALUTAZIONE DEL POTENZIALE ARCHEOLOGICO	
		VRPS	Valutazione di sintesi	2. potenziale molto basso
UR4	TAV. X			
		RCGV	Denominazione ricognizione	Terenass - cavidotto dorsale - UR4
		RCGD	Riferimento cronologico	19/06 - 5/07/2020
		RCGT	Situazione ambientale	Su entrambi i lati della strada, fitta vegetazione erbacea, oltre la quale si estendono su aree pianeggianti campi di foraggiere in parte falciate. In alcuni tratti lungo strada, fitta vegetazione erbacea ai piedi di zone arborate, alternata a tratti cespugliati; più all'interno, vegetazione arbustiva e a tratti sugherete non troppo fitte. Non si segnalano evidenze archeologiche.
		RCGE	Motivo	verifica preventiva
		RCGM	Metodo	sistematico
		RCGR	Ente responsabile	SABAP SS e NU
		RCGA	Responsabile scientifico	Manca di Mores, Giuseppina
		RCGZ	Note	Lato sinistro: visibilità nulla temporanea. Lato destro: visibilità nulla temporanea
GE			GEOREFERENZIAZIONE	
	GEL		Tipo di localizzazione	localizzazione fisica
	GET		Tipo di georeferenziazione	georeferenziazione lineare
	GEP		Sistema di riferimento	WGS84
	GEC		COORDINATE	
		GECX	Coordinata x	9.423333
		GECY	Coordinata y	40.575533
		GECS	Note	inizio UR
		GECX	Coordinata x	9.418505
		GECY	Coordinata y	40.573428
		GECS	Note	fine UR
	GPT		Tecnica di georeferenziazione	rilievo tramite GPS
	GPM		Metodo di posizionamento	posizionamento esatto
	VRP		VALUTAZIONE DEL POTENZIALE ARCHEOLOGICO	
		VRPS	Valutazione di sintesi	3. potenziale basso
UR5	TAV. XI			
	RCG		RICOGNIZIONE ARCHEOLOGICA	
		RCGV	Denominazione ricognizione	Terenass - cavidotto dorsale - UR5



		RCGD	Riferimento cronologico	19/06 - 5/07/2020
		RCGT	Situazione ambientale	Su entrambi i lati, alta vegetazione erbacea ai piedi di zone di rimboschimento e rare sugherete. Vaste aree pianeggianti con vegetazione erbacea e in parte arbustiva. Non si segnalano evidenze archeologiche.
		RCGE	Motivo	verifica preventiva
		RCGM	Metodo	sistematico
		RCGR	Ente responsabile	SABAP SS e NU
		RCGA	Responsabile scientifico	Manca di Mores, Giuseppina
		RCGZ	Note	Lato sinistro: visibilità nulla temporanea. Lato destro: visibilità nulla temporanea.
GE			GEOREFERENZIAZIONE	
	GEL		Tipo di localizzazione	localizzazione fisica
	GET		Tipo di georeferenziazione	georeferenziazione lineare
	GEP		Sistema di riferimento	WGS84
	GEC		COORDINATE	
		GECX	Coordinata x	9.418505
		GECY	Coordinata y	40.573428
		GECS	Note	inizio UR
		GECX	Coordinata x	9.413234
		GECY	Coordinata y	40.572017
		GECS	Note	fine UR
	GPT		Tecnica di georeferenziazione	rilievo tramite GPS
	GPM		Metodo di posizionamento	posizionamento esatto
	VRP		VALUTAZIONE DEL POTENZIALE ARCHEOLOGICO	
		VRPS	Valutazione di sintesi	2. potenziale molto basso
UR6	TAV. XII			
	RCG		RICOGNIZIONE ARCHEOLOGICA	
		RCGV	Denominazione ricognizione	Terensass - cavidotto dorsale - UR6
		RCGD	Riferimento cronologico	19/06 - 5/07/2020
		RCGT	Situazione ambientale	Su entrambi i lati zone pianeggianti, a dx ai piedi di un lieve pendio, completamente coperte da vegetazione erbacea secca non falciata. Non si segnalano evidenze archeologiche.
		RCGE	Motivo	verifica preventiva
		RCGM	Metodo	sistematico
		RCGR	Ente responsabile	SABAP SS e NU
		RCGA	Responsabile scientifico	Manca di Mores, Giuseppina
		RCGZ	Note	Lato sinistro: visibilità nulla temporanea. Lato destro: visibilità nulla temporanea.
GE			GEOREFERENZIAZIONE	
	GEL		Tipo di localizzazione	localizzazione fisica
	GET		Tipo di georeferenziazione	georeferenziazione lineare



	GEP		Sistema di riferimento	WGS84
	GEC		COORDINATE	
		GECX	Coordinata x	9.413234
		GECY	Coordinata y	40.572017
		GECS	Note	inizio UR
		GECX	Coordinata x	9.410141
		GECY	Coordinata y	40.571486
		GECS	Note	fine UR
	GPT		Tecnica di georeferenziazione	rilievo tramite GPS
	GPM		Metodo di posizionamento	posizionamento esatto
	VRP		VALUTAZIONE DEL POTENZIALE ARCHEOLOGICO	
		VRPS	Valutazione di sintesi	2. potenziale molto basso
UR7	TAV. XIII			
	RCG		RICOGNIZIONE ARCHEOLOGICA	
		RCGV	Denominazione ricognizione	Terenass - cavidotto dorsale - UR7
		RCGD	Riferimento cronologico	19/06 - 5/07/2020
		RCGT	Situazione ambientale	Su entrambi i lati aree pianeggianti con foraggiere falciate e non, vegetazione erbacea coprente. Non si segnalano evidenze archeologiche.
		RCGE	Motivo	verifica preventiva
		RCGM	Metodo	sistematico
		RCGR	Ente responsabile	SABAP SS e NU
		RCGA	Responsabile scientifico	Manca di Mores, Giuseppina
		RCGZ	Note	Lato sinistro: visibilità nulla temporanea. Lato destro: visibilità nulla temporanea
GE			GEOREFERENZIAZIONE	
	GEL		Tipo di localizzazione	localizzazione fisica
	GET		Tipo di georeferenziazione	georeferenziazione lineare
	GEP		Sistema di riferimento	WGS84
	GEC		COORDINATE	
		GECX	Coordinata x	9.410141
		GECY	Coordinata y	40.571486
		GECS	Note	inizio UR
		GECX	Coordinata x	9.403341
		GECY	Coordinata y	40.572401
		GECS	Note	fine UR
	GPT		Tecnica di georeferenziazione	rilievo tramite GPS
	GPM		Metodo di posizionamento	posizionamento esatto
	VRP		VALUTAZIONE DEL POTENZIALE ARCHEOLOGICO	
		VRPS	Valutazione di sintesi	2. potenziale molto basso
UR8	TAV. XIV			



RCG		RICOGNIZIONE ARCHEOLOGICA		
		RCGV	Denominazione ricognizione	Terenass - cavidotto dorsale - UR8
		RCGD	Riferimento cronologico	19/06 - 5/07/2020
		RCGT	Situazione ambientale	Area di rimboschimento sulla destra; a sinistra vegetazione erbacea alta coprente lungo la strada. Non si segnalano evidenze archeologiche.
		RCGE	Motivo	verifica preventiva
		RCGM	Metodo	sistematico
		RCGR	Ente responsabile	SABAP SS e NU
		RCGA	Responsabile scientifico	Manca di Mores, Giuseppina
		RCGZ	Note	Lato sinistro: visibilità bassa temporanea. Lato destro: visibilità bassa permanente
GE			GEOREFERENZIAZIONE	
	GEL		Tipo di localizzazione	localizzazione fisica
	GET		Tipo di georeferenziazione	georeferenziazione lineare
	GEP		Sistema di riferimento	WGS84
	GEC		COORDINATE	
		GECX	Coordinata x	9.403341
		GECY	Coordinata y	40.572401
		GECS	Note	inizio UR
		GECX	Coordinata x	9.398537
		GECY	Coordinata y	40.573411
		GECS	Note	fine UR
	GPT		Tecnica di georeferenziazione	rilievo tramite GPS
	GPM		Metodo di posizionamento	posizionamento esatto
	VRP		VALUTAZIONE DEL POTENZIALE ARCHEOLOGICO	
		VRPS	Valutazione di sintesi	3.potenziale basso
UR9	TAV. XV			
	RCG		RICOGNIZIONE ARCHEOLOGICA	
		RCGV	Denominazione ricognizione	Terenass - cavidotto dorsale - UR9
		RCGD	Riferimento cronologico	19/06 - 5/07/2020
		RCGT	Situazione ambientale	Aree pianeggianti o in lieve pendio, con fitta vegetazione erbacea alternata a rada vegetazione arbustiva; sul lato sinistro, concentrazione di pietrame sparso, vegetazione fitta; vegetazione erbacea e arbustiva a dx. Non si segnalano evidenze archeologiche.
		RCGE	Motivo	verifica preventiva
		RCGM	Metodo	sistematico
		RCGR	Ente responsabile	SABAP SS e NU
		RCGA	Responsabile scientifico	Manca di Mores, Giuseppina
		RCGZ	Note	Lato sinistro: visibilità nulla temporanea. Lato destro: visibilità bassa permanente.



GE			GEOREFERENZIAZIONE	
	GEL		Tipo di localizzazione	localizzazione fisica
	GET		Tipo di georeferenziazione	georeferenziazione lineare
	GEP		Sistema di riferimento	WGS84
	GEC		COORDINATE	
		GECX	Coordinata x	9.398537
		GECY	Coordinata y	40.573411
		GECS	Note	inizio UR
		GECX	Coordinata x	9.394924
		GECY	Coordinata y	40.573820
		GECS	Note	fine UR
	GPT		Tecnica di georeferenziazione	rilievo tramite GPS
	GPM		Metodo di posizionamento	posizionamento esatto
	VRP		VALUTAZIONE DEL POTENZIALE ARCHEOLOGICO	
		VRPS	Valutazione di sintesi	3. potenziale basso
UR10	TAV. XVI			
		RCGV	Denominazione ricognizione	Terenass - cavidotto dorsale - UR10
		RCGD	Riferimento cronologico	19/06 - 5/07/2020
				Sul lato dx vegetazione arbustiva ai bordi della strada, erbacea alta e foraggiere all'interno del fondo; su lato sx vegetazione arbustiva più alta e fitta. Sul fondo del sentiero sterrato alcune sistemazioni in pietrame che, date le informazioni sulla viabilità antica, di età romana e medievale che attraversava il territorio, sono da tenere presenti nell'eventualità di tracciati più antichi, peraltro noti nel territorio comunale, che possono permanere sotto risistemazioni di varie epoche, si veda in specifico nel testo della relazione, 7. Potenziale archeologico. A partire dalla UR10, escludendo la UR11 e a seguire con la UR12 sino alla UR14, e in specifico dal tratto indicato come PA1, del quale si danno di seguito le coordinate, sino alla fine dello stesso tratto all'interno della UR 14, si segnala la necessità di attenzione per la presenza di diverse emergenze archeologiche che, pur non sempre o non con certezza ubicabili all'interno della fascia di 50 m, sono da tenere presenti in sede di realizzazione dell'opera per la loro localizzazione o area di espansione rispetto alle ubicazioni note, indicate nelle diverse UR ma meglio specificate, nelle loro interrelazioni e possibili interferenze, in relazione (vfr. 7. Potenziale archeologico).
		RCGT	Situazione ambientale	
		RCGE	Motivo	archeologia preventiva
		RCGM	Metodo	sistematico
		RCGR	Ente responsabile	SABAP SS e NU



		RCGA	Responsabile scientifico	Manca di Mores, Giuseppina
		RCGZ	Note	Lato sinistro: visibilità nulla permanente. Lato destro: visibilità nulla temporanea.
GE			GEOREFERENZIAZIONE	
	GEL		Tipo di localizzazione	localizzazione fisica
	GET		Tipo di georeferenziazione	georeferenziazione lineare
	GEP		Sistema di riferimento	WGS84
	GEC		COORDINATE	
		GECX	Coordinata x	9.394924
		GECY	Coordinata y	40.573820
		GECS	Note	inizio UR
		GECX	Coordinata x	9.389668
		GECY	Coordinata y	40.571737
		GECS	Note	fine UR
		GECX	Coordinata x	9.393611
		GECY	Coordinata y	40.573130
		GECS	Note	inizio tratto PA1 con potenziale archeologico medio-alto
	GPT		Tecnica di georeferenziazione	rilievo tramite GPS
	GPM		Metodo di posizionamento	posizionamento esatto
	VRP		VALUTAZIONE DEL POTENZIALE ARCHEOLOGICO	
		VRPS	Valutazione di sintesi	7.potenziale medio-alto
UR11	TAV. XVII			
	RCG		RICOGNIZIONE ARCHEOLOGICA	
		RCGV	Denominazione ricognizione	Terenass - cavidotto dorsale - UR11
		RCGD	Riferimento cronologico	19/06 - 5/07/2020
		RCGT	Situazione ambientale	Sul lato dx vegetazione arbustiva ai bordi della strada, erbacea e foraggere alte all'interno del fondo; a sx vegetazione arbustiva alta e fitta. Non si segnalano evidenze archeologiche.
		RCGE	Motivo	verifica preventiva
		RCGM	Metodo	sistematico
		RCGR	Ente responsabile	SABAP SS e NU
		RCGA	Responsabile scientifico	Manca di Mores, Giuseppina
		RCGZ	Note	Lato sinistro: visibilità nulla permanente. Lato destro: visibilità bassa temporanea.
GE			GEOREFERENZIAZIONE	
	GEL		Tipo di localizzazione	localizzazione fisica
	GET		Tipo di georeferenziazione	georeferenziazione lineare
	GEP		Sistema di riferimento	WGS84
	GEC		COORDINATE	
		GECX	Coordinata x	9.389668
		GECY	Coordinata y	40.571737
		GECS	Note	inizio UR
		GECX	Coordinata x	9.393592



		GECY	Coordinata y	40.567823
	GPT		Tecnica di georeferenziazione	rilievo tramite GPS
	GPM		Metodo di posizionamento	posizionamento esatto
	VRP		VALUTAZIONE DEL POTENZIALE ARCHEOLOGICO	
		VRPS	Valutazione di sintesi	2. potenziale molto basso
UR12	TAV. XVIII			
	RCG		RICOGNIZIONE ARCHEOLOGICA	
		RCGV	Denominazione ricognizione	Terenass - cavidotto dorsale - UR12
		RCGD	Riferimento cronologico	19/06 - 5/07/2020
		RCGT	Situazione ambientale	Sul lato dx vegetazione coprente arbustiva sino a boscosa; visibile a distanza il nuraghe Ortuidda e sentiero di accesso; a sx rimboschimento e foraggiere. Non si segnalano evidenze archeologiche nelle fasce dei 50 m, ferma restando la possibile interferenza di propaggini dell'insediamento e di strutture collegate.
		RCGE	Motivo	verifica preventiva
		RCGM	Metodo	sistematico
		RCGR	Ente responsabile	SABAP SS e NU
		RCGA	Responsabile scientifico	Manca di Mores, Giuseppina
		RCGZ	Note	Lato sinistro: visibilità bassa temporanea. Lato destro: visibilità nulla permanente.
GE			GEOREFERENZIAZIONE	
	GEL		Tipo di localizzazione	localizzazione fisica
	GET		Tipo di georeferenziazione	georeferenziazione lineare
	GEP		Sistema di riferimento	WGS84
	GEC		COORDINATE	
		GECX	Coordinata x	9.389648
		GECY	Coordinata y	40.571730
		GECS	Note	inizio UR
		GECX	Coordinata x	9.387145
		GECY	Coordinata y	40.571070
		GECS	Note	fine UR
	GPT		Tecnica di georeferenziazione	rilievo tramite GPS
	GPM		Metodo di posizionamento	posizionamento esatto
	VRP		VALUTAZIONE DEL POTENZIALE ARCHEOLOGICO	
		VRPS	Valutazione di sintesi	7.potenziale medio-alto
UR13	TAV. XIX			
	RCG		RICOGNIZIONE ARCHEOLOGICA	
		RCGV	Denominazione ricognizione	Terenass - cavidotto dorsale - UR13



		RCGD	Riferimento cronologico	19/06 - 5/07/2020
		RCGT	Situazione ambientale	Vegetazione fitta, in parte boscosa, su fondo roccioso su entrambi i lati del tracciato. Anche qui, sul fondo del sentiero sterrato, sistemazione in pietrame, per la quale si fa riferimento a quanto esplicitato in UR10 sulla viabilità antica attestata nel territorio e in relazione (7. Potenziale archeologico).
		RCGE	Motivo	verifica preventiva
		RCGM	Metodo	sistematico
		RCGR	Ente responsabile	SABAP SS e NU
		RCGA	Responsabile scientifico	Manca di Mores, Giuseppina
		RCGZ	Note	Lato sinistro: visibilità nulla permanente. Lato destro: visibilità nulla permanente.
GE			GEOREFERENZIAZIONE	
	GEL		Tipo di localizzazione	localizzazione fisica
	GET		Tipo di georeferenziazione	georeferenziazione lineare
	GEP		Sistema di riferimento	WGS84
	GEC		COORDINATE	
		GECX	Coordinata x	9.387145
		GECY	Coordinata y	40.571070
		GECS	Note	inizio UR
		GECX	Coordinata x	9.378283
		GECY	Coordinata y	40.571340
		GECS	Note	fine UR
	GPT		Tecnica di georeferenziazione	rilievo tramite GPS
	GPM		Metodo di posizionamento	posizionamento esatto
	VRP		VALUTAZIONE DEL POTENZIALE ARCHEOLOGICO	
		VRPS	Valutazione di sintesi	7.potenziale medio-alto
UR14	TAV. XX			
	RCG		RICOGNIZIONE ARCHEOLOGICA	
		RCGV	Denominazione ricognizione	Terenass - cavidotto dorsale - UR14
		RCGD	Riferimento cronologico	19/06 - 5/07/2020



				Presumibilmente all'interno della fascia di 50 m a sinistra del sentiero, a poche decine di metri di distanza dal tracciato del cavidotto, si segnala la presenza dell'insediamento romano di Abbas de Frau. La fittissima vegetazione non ha permesso, in sede di survey, di evidenziare le strutture, la cui unica indicazione proviene dal censimento del Parco di Tepilora, dove l'insediamento è dato come inedito e del quale in effetti non è stata reperita alcun'altra indicazione. Da questi dati il sito sembrerebbe ubicarsi all'interno della fascia dei 50 m a sinistra del cavidotto, e pertanto su questo punto si sottolinea la forte necessità di cautela e attenzione in fase di attività. E' invece ubicata con precisione la non lontana fonte omonima, indicata in letteratura come una delle sorgenti del Tirso. La vegetazione è fitta, arbustiva, coprente. A dx del tracciato, verso l'interno, su un leggero pendio, boschi di sughere. Il fondo del sentiero è molto sconnesso e, in un tratto, occupato da un'ampia pozza d'acqua che è stato fortunatamente possibile attraversare col mezzo per procedere nella ricognizione.
		RCGT	Situazione ambientale	
		RCGE	Motivo	verifica preventiva
		RCGM	Metodo	sistematico
		RCGR	Ente responsabile	SABAP SS e NU
		RCGA	Responsabile scientifico	Manca di Mores, Giuseppina
		RCGZ	Note	Lato sinistro: visibilità bassa permanente. Lato destro: visibilità bassa permanente
GE			GEOREFERENZIAZIONE	
	GEL		Tipo di localizzazione	localizzazione fisica
	GET		Tipo di georeferenziazione	georeferenziazione lineare
	GEP		Sistema di riferimento	WGS84
	GEC		COORDINATE	
		GECX	Coordinata x	9.378283
		GECY	Coordinata y	40.571340
		GECS	Note	inizio UR
		GECX	Coordinata x	9.370983
		GECY	Coordinata y	40.570983
		GECS	Note	fine UR
		GECX	Coordinata x	9.376141
		GECY	Coordinata y	40.572361
		GECS	Note	fine tratto con potenziale archeologico medio-alto (PA1)
		GECX	Coordinata x	9.378005
		GECY	Coordinata y	40.571113
		GECS	Note	Insedimento di Abbas de Frau
	GPT		Tecnica di georeferenziazione	rilievo tramite GPS
	GPM		Metodo di posizionamento	posizionamento esatto



	VRP		VALUTAZIONE DEL POTENZIALE ARCHEOLOGICO	
		VRPS	Valutazione di sintesi	7. potenziale medio-alto
UR15	TAV. XXI			
	RCG		RICOGNIZIONE ARCHEOLOGICA	
		RCGV	Denominazione ricognizione	Terenass - cavidotto dorsale - UR15
		RCGD	Riferimento cronologico	19/06 - 5/07/2020
		RCGT	Situazione ambientale	Soprattutto sul lato dx, area di rimboschimento. Fondo erboso e arbustivo coprente. Non si segnalano evidenze archeologiche.
		RCGE	Motivo	verifica preventiva
		RCGM	Metodo	sistematico
		RCGR	Ente responsabile	SABAP SS e NU
		RCGA	Responsabile scientifico	Manca di Mores, Giuseppina
		RCGZ	Note	Lato sinistro: visibilità bassa permanente. Lato destro: visibilità bassa permanente
GE			GEOREFERENZIAZIONE	
	GEL		Tipo di localizzazione	localizzazione fisica
	GET		Tipo di georeferenziazione	georeferenziazione lineare
	GEP		Sistema di riferimento	WGS84
	GEC		COORDINATE	
		GECX	Coordinata x	9.370983
		GECY	Coordinata y	40.570983
		GECS	Note	inizio UR
		GECX	Coordinata x	9.366967
		GECY	Coordinata y	40.569733
		GECS	Note	fine UR
	GPT		Tecnica di georeferenziazione	rilievo tramite GPS
	GPM		Metodo di posizionamento	posizionamento esatto
	VRP		VALUTAZIONE DEL POTENZIALE ARCHEOLOGICO	
		VRPS	Valutazione di sintesi	4. potenziale medio
UR16	TAV. XXII			
	RCG		RICOGNIZIONE ARCHEOLOGICA	
		RCGV	Denominazione ricognizione	Terenass - cavidotto dorsale - UR16
		RCGD	Riferimento cronologico	19/06 - 5/07/2020
		RCGT	Situazione ambientale	Su entrambe le fasce, terreno a fitta vegetazione boschiva e arbustiva su base granitica, con fondo a vegetazione erbacea coprente. Non si segnalano evidenze archeologiche.
		RCGE	Motivo	verifica preventiva
		RCGM	Metodo	sistematico



		RCGR	Ente responsabile	SABAP SS e NU
		RCGA	Responsabile scientifico	Manca di Mores, Giuseppina
		RCGZ	Note	
GE			GEOREFERENZIAZIONE	Lato sinistro: visibilità nulla permanente. Lato destro: visibilità nulla permanente.
	GEL		Tipo di localizzazione	localizzazione fisica
	GET		Tipo di georeferenziazione	georeferenziazione lineare
	GEP		Sistema di riferimento	WGS84
	GEC		COORDINATE	
		GECX	Coordinata x	9.366967
		GECY	Coordinata y	40.569733
		GECS	Note	inizio UR
		GECX	Coordinata x	9.348398
		GECY	Coordinata y	40.568966
		GECS	Note	fine UR
	GPT		Tecnica di georeferenziazione	rilievo tramite GPS
	GPM		Metodo di posizionamento	posizionamento esatto
	VRP		VALUTAZIONE DEL POTENZIALE ARCHEOLOGICO	
		VRPS	Valutazione di sintesi	7. potenziale medio-alto
UR17	TAV. XXIII			
	RCG		RICOGNIZIONE ARCHEOLOGICA	
		RCGV	Denominazione ricognizione	Terenass - cavidotto dorsale - UR17
		RCGD	Riferimento cronologico	19/06 - 5/07/2020
		RCGT	Situazione ambientale	Su entrambe le fasce fitta vegetazione boschiva (sugherete) a partire dal bordo del sentiero; fondo con vegetazione erbacea coprente. Non si segnalano evidenze archeologiche.
		RCGE	Motivo	verifica preventiva
		RCGM	Metodo	sistematico
		RCGR	Ente responsabile	SABAP SS e NU
		RCGA	Responsabile scientifico	Manca di Mores, Giuseppina
		RCGZ	Note	Lato sinistro: visibilità nulla permanente. Lato destro: visibilità nulla permanente.
GE			GEOREFERENZIAZIONE	
	GEL		Tipo di localizzazione	localizzazione fisica
	GET		Tipo di georeferenziazione	georeferenziazione lineare
	GEP		Sistema di riferimento	WGS84
	GEC		COORDINATE	
		GECX	Coordinata x	9.348398
		GECY	Coordinata y	40.568966
		GECS	Note	inizio UR
		GECX	Coordinata x	9.335958
		GECY	Coordinata y	40.569191



		GECS	Note	fine UR
	GPT		Tecnica di georeferenziazione	rilievo tramite GPS
	GPM		Metodo di posizionamento	posizionamento esatto
	VRP		VALUTAZIONE DEL POTENZIALE ARCHEOLOGICO	
		VRPS	Valutazione di sintesi	6.potenziale medio
UR18	TAV. XXIV			
	RCG		RICOGNIZIONE ARCHEOLOGICA	
		RCGV	Denominazione ricognizione	Terenass - cavidotto dorsale - UR18
		RCGD	Riferimento cronologico	19/06 - 5/07/2020
		RCGT	Situazione ambientale	Sulla fascia dx, area occupata dall'ex autodromo; fondo sterrato, vegetazione rada erbacea e arbustiva. Più all'interno, vegetazione boschiva, così come sul lato sx (fascia a bassa vegetazione erbacea e arbustiva seguita da area boschiva). Non si segnalano evidenze archeologiche.
		RCGE	Motivo	verifica preventiva
		RCGM	Metodo	sistematico
		RCGR	Ente responsabile	SABAP SS e NU
		RCGA	Responsabile scientifico	Manca di Mores, Giuseppina
		RCGZ	Note	Lato sinistro: visibilità media. Lato destro: visibilità media.
GE			GEOREFERENZIAZIONE	
	GEL		Tipo di localizzazione	localizzazione fisica
	GET		Tipo di georeferenziazione	georeferenziazione lineare
	GEP		Sistema di riferimento	WGS84
	GEC		COORDINATE	
		GECX	Coordinata x	9.335958
		GECY	Coordinata y	40.569191
		GECS	Note	inizio UR
		GECX	Coordinata x	9.325858
		GECY	Coordinata y	40.569071
		GECS	Note	fine UR
	GPT		Tecnica di georeferenziazione	rilievo tramite GPS
	GPM		Metodo di posizionamento	posizionamento esatto
	VRP		VALUTAZIONE DEL POTENZIALE ARCHEOLOGICO	
		VRPS	Valutazione di sintesi	7. potenziale medio -alto
UR19	TAV. XXV			
	RCG		RICOGNIZIONE ARCHEOLOGICA	
		RCGV	Denominazione ricognizione	Terenass - cavidotto dorsale - UR19
		RCGD	Riferimento cronologico	19/06 - 5/07/2020



				<p>Nel tratto finale dell'UR19 troviamo il complesso nuragico di Loelle, costituito da un nuraghe trilobato e da un villaggio di capanne. Si tratta di un'area archeologica importante, restaurata, recintata, valorizzata, gestita da una cooperativa e aperta al pubblico. In "Vincoli in rete" è citato un piccolo dolmen posizionato sul lato destro della strada, a una quindicina di metri a ovest del Nuraghe Loelle, ma di esso non si hanno notizie più precise. L'area è delimitata, sul lato destro della strada, da un muretto a secco. Tra la fine della UR 19 e l'inizio della 20, sul lato opposto della strada oltre l'incrocio con la SS 389 di Correboi, si segnalano diverse emergenze archeologiche, fra cui almeno due tombe di giganti e altre tracce di villaggio (due strutture circolari) e altre strutture archeologiche. E' pertanto evidente che la strada e gli edifici costruiti oltre al bivio hanno tagliato un insediamento originariamente di carattere unitario, la cui estensione peraltro non è pienamente definibile. Si veda su questo, più avanti, il dolmen all'interno della UR20. Il percorso del cavidotto e della relativa trincea è indicato a bordo strada, sulla sinistra, dalla parte opposta del nuraghe Loelle.</p>
		RCGT	Situazione ambientale	
		RCGE	Motivo	verifica preventiva
		RCGM	Metodo	sistematico
		RCGR	Ente responsabile	SABAP SS e NU
		RCGA	Responsabile scientifico	Manca di Mores, Giuseppina
		RCGZ	Note	Lato sinistro: visibilità bassa permanente. Lato destro: visibilità bassa permanente.
GE			GEOREFERENZIAZIONE	
	GEL		Tipo di localizzazione	localizzazione fisica
	GET		Tipo di georeferenziazione	georeferenziazione lineare
	GEP		Sistema di riferimento	WGS84
	GEC		COORDINATE	
		GECX	Coordinata x	9.325858
		GECY	Coordinata y	40.569071
		GECS	Note	inizio UR
		GECX	Coordinata x	9.316150
		GECY	Coordinata y	40.567733
		GECS	Note	fine UR
		GECX	Coordinata x	9.320479
		GECY	Coordinata y	40.567898
		GECS	Note	inizio tratto con potenziale archeologico alto (PA2)
	GPT		Tecnica di georeferenziazione	rilievo tramite GPS
	GPM		Metodo di posizionamento	posizionamento esatto



	VRP		VALUTAZIONE DEL POTENZIALE ARCHEOLOGICO	
		VRPS	Valutazione di sintesi	8. potenziale alto
UR20	TAV. XXVI			
	RCG		RICOGNIZIONE ARCHEOLOGICA	
		RCGV	Denominazione ricognizione	Terenass - cavidotto dorsale - UR20
		RCGD	Riferimento cronologico	19/06 - 5/07/2020
		RCGT	Situazione ambientale	Su entrambe le fasce ai lati della strada asfaltata: querceto fitto su base granitica. A poco più di un centinaio di metri a NW del su descritto complesso nuragico di Loelle si segnala un dolmen (per alcuni studiosi una allée couverte). Il dolmen si trova sul percorso della SS 389 di Correboi, sul ciglio della strada e sul lato sx, ovvero quello lungo il quale correrebbe la trincea per il cavidotto. Su questo punto è pertanto necessaria la massima cautela sia per il monumento in sè, sia per il fatto che il dolmen si inserisce in un'area di forte frequentazione antica che abbraccia un'ampia area già descritta nella UR 19. In alcuni resoconti le coordinate riporterebbero erroneamente l'ubicazione del dolmen al centro della strada. Nei tratti successivi dell'UR e nell'area circostante, vegetazione boschiva (sugherete); fondo granitico, vegetazione erbosa coprente.
		RCGE	Motivo	verifica preventiva
		RCGM	Metodo	sistematico
		RCGR	Ente responsabile	SABAP SS e NU
		RCGA	Responsabile scientifico	Manca di Mores, Giuseppina
		RCGZ	Note	Lato sinistro: visibilità nulla permanente. Lato destro: visibilità nulla permanente.
GE			GEOREFERENZIAZIONE	
	GEL		Tipo di localizzazione	localizzazione fisica
	GET		Tipo di georeferenziazione	georeferenziazione lineare
	GEP		Sistema di riferimento	WGS84
	GEC		COORDINATE	
		GECX	Coordinata x	9.316150
		GECY	Coordinata y	40.567733
		GECS	Note	inizio UR
		GECX	Coordinata x	9.299270
		GECY	Coordinata y	40.570409
		GECS	Note	fine UR
		GECX	Coordinata x	9.312299
		GECY	Coordinata y	40.569547
		GECS	Note	fine tratto con potenziale archeologico alto (PA2)



		GECX	Coordinata x	9.314174
		GECY	Coordinata y	40.568656
		GECS	Note	Dolmen Loelle
	GPT		Tecnica di georeferenziazione	rilievo tramite GPS
	GPM		Metodo di posizionamento	posizionamento esatto
	VRP		VALUTAZIONE DEL POTENZIALE ARCHEOLOGICO	
		VRPS	Valutazione di sintesi	8.potenziale alto
UR21	TAV. XXVII			
	RCG		RICOGNIZIONE ARCHEOLOGICA	
		RCGV	Denominazione ricognizione	Terenass - cavidotto dorsale - UR21
		RCGD	Riferimento cronologico	19/06 - 5/07/2020
		RCGT	Situazione ambientale	Su entrambi i lati della strada asfaltata, ambiente boscoso (sugherete), fitto, su base granitica. Non si segnalano evidenze archeologiche. Il cavidotto termina alla sottostazione.
		RCGE	Motivo	verifica preventiva
		RCGM	Metodo	sistematico
		RCGR	Ente responsabile	SABAP SS e NU
		RCGA	Responsabile scientifico	Manca di Mores, Giuseppina
		RCGZ	Note	Lato sinistro: visibilità nulla permanente. Lato destro: visibilità nulla permanente.
GE			GEOREFERENZIAZIONE	
	GEL		Tipo di localizzazione	localizzazione fisica
	GET		Tipo di georeferenziazione	georeferenziazione lineare
	GEP		Sistema di riferimento	WGS84
	GEC		COORDINATE	
		GECX	Coordinata x	9.299270
		GECY	Coordinata y	40.570409
		GECS	Note	inizio UR
		GECX	Coordinata x	9.288931
		GECY	Coordinata y	40.569747
		GECS	Note	fine UR
	GPT		Tecnica di georeferenziazione	rilievo tramite GPS
	GPM		Metodo di posizionamento	posizionamento esatto
	VRP		VALUTAZIONE DEL POTENZIALE ARCHEOLOGICO	
		VRPS	Valutazione di sintesi	3. potenziale basso
UR22	TAV. XXVIII			
	RCG		RICOGNIZIONE ARCHEOLOGICA	
		RCGV	Denominazione ricognizione	Terenass - cavidotto di collegamento - UR22
		RCGD	Riferimento cronologico	19/06 - 5/07/2020



		RCGT	Situazione ambientale	Il sentiero conduce dall'ubicazione dell'aerogeneratore BT01 al BT02. Entrambe le fasce sono coperte da vegetazione erbacea e arbustiva molto fitta sul lato sx, verso l'aerogeneratore, meno sul lato dx. Il fondo pietroso che si intravede fra gli arbusti (macchia mediterranea) non ha rivelato evidenze archeologiche.
		RCGE	Motivo	verifica preventiva
		RCGM	Metodo	sistematico
		RCGR	Ente responsabile	SABAP SS e NU
		RCGA	Responsabile scientifico	Manca di Mores, Giuseppina
		RCGZ	Note	Lato sinistro: visibilità bassa permanente. Lato destro: visibilità bassa temporanea.
GE			GEOREFERENZIAZIONE	
	GEL		Tipo di localizzazione	localizzazione fisica
	GET		Tipo di georeferenziazione	georeferenziazione lineare
	GEP		Sistema di riferimento	WGS84
	GEC		COORDINATE	
		GECX	Coordinata x	9.462858
		GECY	Coordinata y	40.583517
		GECS	Note	inizio UR
		GECX	Coordinata x	9.456724
		GECY	Coordinata y	40.580865
		GECS	Note	fine UR
	GPT		Tecnica di georeferenziazione	rilievo tramite GPS
	GPM		Metodo di posizionamento	posizionamento esatto
	VRP		VALUTAZIONE DEL POTENZIALE ARCHEOLOGICO	
		VRPS	Valutazione di sintesi	2. potenziale molto basso
UR23	TAV. XXIX			
	RCG		RICOGNIZIONE ARCHEOLOGICA	
		RCGV	Denominazione ricognizione	Terenass - cavidotto di collegamento - UR23
		RCGD	Riferimento cronologico	19/06 - 5/07/2020
		RCGT	Situazione ambientale	Il percorso conduce dalla BT02 al bivio tra BT 02 e BT03b. Ai lati della strada asfaltata, foraggere, vegetazione rada con alcuni inserimenti arborei sporadici e roccia affiorante a dx; a sx, vegetazione arbustiva più fitta su base rocciosa con inserimenti arborei. Non si segnalano evidenze archeologiche.
		RCGE	Motivo	verifica preventiva
		RCGM	Metodo	sistematico
		RCGR	Ente responsabile	SABAP SS e NU
		RCGA	Responsabile scientifico	Manca di Mores, Giuseppina
		RCGZ	Note	Lato sinistro: visibilità bassa permanente. Lato destro: visibilità bassa temporanea.



GE			GEOREFERENZIAZIONE	
	GEL		Tipo di localizzazione	localizzazione fisica
	GET		Tipo di georeferenziazione	georeferenziazione lineare
	GEP		Sistema di riferimento	WGS84
	GEC		COORDINATE	
		GECX	Coordinata x	9.454335
		GECY	Coordinata y	40.580584
		GECS	Note	inizio UR
		GECX	Coordinata x	9.449588
		GECY	Coordinata y	40.579484
		GECS	Note	fine UR
	GPT		Tecnica di georeferenziazione	rilievo tramite GPS
	GPM		Metodo di posizionamento	posizionamento esatto
	VRP		VALUTAZIONE DEL POTENZIALE ARCHEOLOGICO	
		VRPS	Valutazione di sintesi	2. potenziale molto basso
UR24	TAV. XXX			
	RCG		RICOGNIZIONE ARCHEOLOGICA	
		RCGV	Denominazione ricognizione	Terenass - cavidotto di collegamento - UR24
		RCGD	Riferimento cronologico	19/06 - 5/07/2020
		RCGT	Situazione ambientale	Tratto che dal bivio conduce all'aerogeneratore BT03. Ai lati del sentiero d'ingresso che conduce alla casa, foraggere, cardi e vegetazione spontanea coprente. Cumuli di spietramento in varie parti del terreno; notevole quantità di pietrame di varie dimensioni di incerta lettura. Non si segnalano evidenze archeologiche di chiara lettura.
		RCGE	Motivo	verifica preventiva
		RCGM	Metodo	sistematico
		RCGR	Ente responsabile	SABAP SS e NU
		RCGA	Responsabile scientifico	Manca di Mores, Giuseppina
		RCGZ	Note	Lato sinistro: visibilità bassa temporanea. Lato destro: visibilità bassa temporanea.
GE			GEOREFERENZIAZIONE	
	GEL		Tipo di localizzazione	localizzazione fisica
	GET		Tipo di georeferenziazione	georeferenziazione lineare
	GEP		Sistema di riferimento	WGS84
	GEC		COORDINATE	
		GECX	Coordinata x	9.447542
		GECY	Coordinata y	40.582289
		GECS	Note	inizio UR
		GECX	Coordinata x	9.448836
		GECY	Coordinata y	40.578638
		GECS	Note	fine UR



	GPT		Tecnica di georeferenziazione	rilievo tramite GPS
	GPM		Metodo di posizionamento	posizionamento esatto
	VRP		VALUTAZIONE DEL POTENZIALE ARCHEOLOGICO	
		VRPS	Valutazione di sintesi	3. potenziale basso
UR25	TAV. XXXI			
	RCG		RICOGNIZIONE ARCHEOLOGICA	
		RCGV	Denominazione ricognizione	Terenass - cavidotto di collegamento - UR25
		RCGD	Riferimento cronologico	19/06 - 5/07/2020
		RCGT	Situazione ambientale	Tratto viario che incrocia la UR 25 con la UR2: banchi rocciosi a bordo strada; vegetazione arbustiva coprente a dx e a sx; verso la fine dell'UR il terreno appare più pianeggiante e coperto da vegetazione temporanea. Non si segnalano evidenze archeologiche.
		RCGE	Motivo	verifica preventiva
		RCGM	Metodo	sistematico
		RCGR	Ente responsabile	SABAP SS e NU
		RCGA	Responsabile scientifico	Manca di Mores, Giuseppina
		RCGZ	Note	Lato sinistro: visibilità bassa permanente. Lato destro: visibilità bassa permanente.
GE			GEOREFERENZIAZIONE	
	GEL		Tipo di localizzazione	localizzazione fisica
	GET		Tipo di georeferenziazione	georeferenziazione lineare
	GEP		Sistema di riferimento	WGS84
	GEC		COORDINATE	
		GECX	Coordinata x	9.448836
		GECY	Coordinata y	40.578638
		GECS	Note	inizio UR
		GECX	Coordinata x	9.438029
		GECY	Coordinata y	40.579039
		GECS	Note	fine UR
	GPT		Tecnica di georeferenziazione	rilievo tramite GPS
	GPM		Metodo di posizionamento	posizionamento esatto
	VRP		VALUTAZIONE DEL POTENZIALE ARCHEOLOGICO	
		VRPS	Valutazione di sintesi	2. potenziale molto basso
UR26	TAV. XXXII			
	RCG		RICOGNIZIONE ARCHEOLOGICA	
		RCGV	Denominazione ricognizione	Terenass - cavidotto di collegamento - UR26
		RCGD	Riferimento cronologico	19/06 - 5/07/2020



				Il tratto indagato parte dall'aerogeneratore BT05 e si conclude in prossimità dell'area di rispetto dell'aerogeneratore BT06: vegetazione rada, erbacea, falciata; cardi; diversi accumuli da spietramento. Non si segnalano evidenze archeologiche.
		RCGT	Situazione ambientale	
		RCGE	Motivo	verifica preventiva
		RCGM	Metodo	sistematico
		RCGR	Ente responsabile	SABAP SS e NU
		RCGA	Responsabile scientifico	Manca di Mores, Giuseppina
		RCGZ	Note	Lato sinistro: visibilità alta. Lato destro: visibilità alta.
GE			GEOREFERENZIAZIONE	
	GEL		Tipo di localizzazione	localizzazione fisica
	GET		Tipo di georeferenziazione	georeferenziazione lineare
	GEP		Sistema di riferimento	WGS84
	GEC		COORDINATE	
		GECX	Coordinata x	9.393338
		GECY	Coordinata y	40.566037
		GECS	Note	inizio UR
		GECX	Coordinata x	9.392880
		GECY	Coordinata y	40.563758
		GECS	Note	fine UR
	GPT		Tecnica di georeferenziazione	rilievo tramite GPS
	GPM		Metodo di posizionamento	posizionamento esatto
	VRP		VALUTAZIONE DEL POTENZIALE ARCHEOLOGICO	
		VRPS	Valutazione di sintesi	2. potenziale molto basso
UR27	TAV. XXXIII			
		RCGV	Denominazione ricognizione	Terenass - cavidotto di collegamento - UR27
		RCGD	Riferimento cronologico	19/06 - 5/07/2020
				Ai lati del sentiero, vegetazione erbacea coprente con felci, rovo e querce. Nel tratto dal cancello all'aerogeneratore BT06: sentiero sterrato con ai lati fitta vegetazione erbacea e arbustiva. Non si segnalano evidenze archeologiche.
		RCGT	Situazione ambientale	
		RCGE	Motivo	verifica preventiva
		RCGM	Metodo	sistematico
		RCGR	Ente responsabile	SABAP SS e NU
		RCGA	Responsabile scientifico	Manca di Mores, Giuseppina
		RCGZ	Note	Lato sinistro: visibilità bassa permanente. Lato destro: visibilità bassa permanente.
GE			GEOREFERENZIAZIONE	
	GEL		Tipo di localizzazione	localizzazione fisica
	GET		Tipo di georeferenziazione	georeferenziazione lineare
	GEP		Sistema di riferimento	WGS84
	GEC		COORDINATE	



		GECX	Coordinata x	9.393657
		GECY	Coordinata y	40.562844
		GECS	Note	inizio UR
		GECX	Coordinata x	9.395016
		GECY	Coordinata y	40.561206
		GECS	Note	fine UR
	GPT		Tecnica di georeferenziazione	rilievo tramite GPS
	GPM		Metodo di posizionamento	posizionamento esatto
	VRP		VALUTAZIONE DEL POTENZIALE ARCHEOLOGICO	
		VRPS	Valutazione di sintesi	2. potenziale molto basso
UR28	TAV. XXXIV			
		RCGV	Denominazione ricognizione	Terenass - cavidotto di collegamento - UR28
		RCGD	Riferimento cronologico	19/06 - 5/07/2020
		RCGT	Situazione ambientale	Il percorso comprende il tratto che dal cancello sulla strada conduce all'aerogeneratore BT07. Nella parte iniziale del percorso, verso BT07, area boscosa con sugherete. Al suolo vegetazione erbacea fitta e arbustiva. Visibilità bassa, tranne che in qualche zona più pulita che non ha mostrato evidenze. Vegetazione arbustiva coerente su base rocciosa.
		RCGE	Motivo	verifica preventiva
		RCGM	Metodo	sistematico
		RCGR	Ente responsabile	SABAP SS e NU
		RCGA	Responsabile scientifico	Manca di Mores, Giuseppina
		RCGZ	Note	Lato sinistro: visibilità nulla permanente. Lato destro: visibilità nulla permanente.
GE			GEOREFERENZIAZIONE	
	GEL		Tipo di localizzazione	localizzazione fisica
	GET		Tipo di georeferenziazione	georeferenziazione lineare
	GEP		Sistema di riferimento	WGS84
	GEC		COORDINATE	
		GECX	Coordinata x	9.395016
		GECY	Coordinata y	40.561206
		GECS	Note	inizio UR
		GECX	Coordinata x	9.390031
		GECY	Coordinata y	40.558094
		GECS	Note	fine UR
	GPT		Tecnica di georeferenziazione	rilievo tramite GPS
	GPM		Metodo di posizionamento	posizionamento esatto
	VRP		VALUTAZIONE DEL POTENZIALE ARCHEOLOGICO	
		VRPS	Valutazione di sintesi	2. potenziale molto basso
UR29	TAV. XXXV			



RCG		RICOGNIZIONE ARCHEOLOGICA		
		RCGV	Denominazione ricognizione	Terenass - cavidotto di collegamento - UR29
		RCGD	Riferimento cronologico	19/06 - 5/07/2020
		RCGT	Situazione ambientale	L'unità è suddivisa in due parti, a e b. Il percorso si diparte dal bivio sulla SP50, con ai lati vegetazione arbustiva e arborea coprente su base rocciosa, e prosegue lungo il sentiero d'ingresso per l'aerogeneratore BT11. Nel sentiero di ingresso, vegetazione erbacea coprente su vasta zona, ai limiti della quale bosco di sugherete, affioramenti rocciosi e molto pietrame sparso.
		RCGE	Motivo	verifica preventiva
		RCGM	Metodo	sistematico
		RCGR	Ente responsabile	SABAP SS e NU
		RCGA	Responsabile scientifico	Manca di Mores, Giuseppina
		RCGZ	Note	UR 29a - Lato sinistro: visibilità nulla permanente. Lato destro: visibilità nulla permanente.//UR29b - Lato sinistro: visibilità bassa temporanea. Lato destro: visibilità bassa temporanea.
GE			GEOREFERENZIAZIONE	
	GEL		Tipo di localizzazione	localizzazione fisica
	GET		Tipo di georeferenziazione	georeferenziazione lineare
	GEP		Sistema di riferimento	WGS84
	GEC		COORDINATE	
		GECX	Coordinata x	9.393873
		GECY	Coordinata y	40.558305
		GECS	Note	inizio UR
		GECX	Coordinata x	9.398095
		GECY	Coordinata y	40.555984
		GECS	Note	fine UR
	GPT		Tecnica di georeferenziazione	rilievo tramite GPS
	GPM		Metodo di posizionamento	posizionamento esatto
	VRP		VALUTAZIONE DEL POTENZIALE ARCHEOLOGICO	
		VRPS	Valutazione di sintesi	2. potenziale molto basso
UR30	TAV. XXXVI			
	RCG		RICOGNIZIONE ARCHEOLOGICA	
		RCGV	Denominazione ricognizione	Terenass - cavidotto di collegamento - UR30
		RCGD	Riferimento cronologico	19/06 - 5/07/2020



				L'unità, suddivisa in due parti, a e b, si estende dal bivio sulla strada Bitti -Mamone sino all' incrocio a ovest per l'aerogeneratore BT08. Nella parte a, fitta vegetazione arbustiva e boschiva con radure e pietrame sparso; verso la fine dell'UR, prima dell'innesto con la Bitti - Mamone, sono visibili alcuni fabbricati sulla sinistra. Il tratto b, in direzione sud/sud-ovest sino al bivio, è caratterizzato da fitta vegetazione boschiva e arbustiva su base rocciosa, delimitata a bordo strada da muretti a secco. Non si segnalano evidenze archeologiche.
		RCGT	Situazione ambientale	
		RCGE	Motivo	verifica preventiva
		RCGM	Metodo	sistematico
		RCGR	Ente responsabile	SABAP SS e NU
		RCGA	Responsabile scientifico	Manca di Mores, Giuseppina
		RCGZ	Note	UR30a - Lato sinistro: visibilità bassa permanente. Lato destro: visibilità bassa permanente. // UR30b - Lato sinistro: visibilità bassa permanente. Lato destro: visibilità bassa permanente.
GE			GEOREFERENZIAZIONE	
	GEL		Tipo di localizzazione	localizzazione fisica
	GET		Tipo di georeferenziazione	georeferenziazione lineare
	GEP		Sistema di riferimento	WGS84
	GEC		COORDINATE	
		GECX	Coordinata x	9.399627
		GECY	Coordinata y	40.556288
		GECS	Note	inizio UR
		GECX	Coordinata x	9.397386
		GECY	Coordinata y	40.544855
		GECS	Note	fine UR
	GPT		Tecnica di georeferenziazione	rilievo tramite GPS
	GPM		Metodo di posizionamento	posizionamento esatto
	VRP		VALUTAZIONE DEL POTENZIALE ARCHEOLOGICO	
		VRPS	Valutazione di sintesi	2. potenziale molto basso
UR31	TAV. XXXVII			
	RCG		RICOGNIZIONE ARCHEOLOGICA	
		RCGV	Denominazione ricognizione	Terenass - cavidotto di collegamento - UR31
		RCGD	Riferimento cronologico	19/06 - 5/07/2020
		RCGT	Situazione ambientale	L'unità parte dall'incrocio sulla strada asfaltata sino all'aerogeneratore BT09. Sulla sx, foraggere e vegetazione erbacea alta; a dx, vegetazione arbustiva più meno fitta, che si dirada avvicinandosi al punto di installazione dall'aerogeneratore. Non si segnalano evidenze archeologiche.



		RCGE	Motivo	verifica preventiva
		RCGM	Metodo	sistematico
		RCGR	Ente responsabile	SABAP SS e NU
		RCGA	Responsabile scientifico	Manca di Mores, Giuseppina
		RCGZ	Note	Lato sinistro: visibilità bassa permanente. Lato destro: visibilità bassa temporanea.
GE			GEOREFERENZIAZIONE	
	GEL		Tipo di localizzazione	localizzazione fisica
	GET		Tipo di georeferenziazione	georeferenziazione lineare
	GEP		Sistema di riferimento	WGS84
	GEC		COORDINATE	
		GECX	Coordinata x	9.397386
		GECY	Coordinata y	40.544855
		GECS	Note	inizio UR
		GECX	Coordinata x	9.403454
		GECY	Coordinata y	40.544819
		GECS	Note	fine UR
	GPT		Tecnica di georeferenziazione	rilievo tramite GPS
	GPM		Metodo di posizionamento	posizionamento esatto
	VRP		VALUTAZIONE DEL POTENZIALE ARCHEOLOGICO	
		VRPS	Valutazione di sintesi	3. potenziale basso
UR32	TAV. XXXVIII			
		RCGV	Denominazione ricognizione	Terenass - cavidotto di collegamento - UR32
		RCGD	Riferimento cronologico	19/06 - 5/07/2020



				Le fasce ai lati del sentiero sono occupate da vegetazione erbacea alta e foraggiere con gruppi di vegetazione arborea (sughere). Nel tratto che dall'aerogeneratore BT10 va verso l'ubicazione dell'insediamento di Gallili, il terreno è coperto da foraggiere non falciate e da fitta vegetazione erbacea. Avvicinandosi all'area in cui è segnalato l'abitato nuragico (?) di Galili, la vegetazione è fitta e coprente, con felci, rovi, cardi e rare querce che impediscono un'adeguata ricognizione. Non è stato infatti possibile documentare direttamente i resti dell'abitato, noto unicamente da una carta di distribuzione del Parco di Tepilora. Rientrando sul sentiero sterrato, ai lati si apprezza una fitta vegetazione arbustiva e erbacea: sulla sinistra alti elementi a rovo, sulla destra, oltre la recinzione, vegetazione erbacea coprente. Dal fondo del sentiero sterrato affiora in più tratti una sistemazione in pietrame, analoga a quelle precedentemente segnalate in UR10 e UR13, che suggerisce cautela per la presenza, in questa zona, di diramazioni secondarie della rete viaria di età romana che da caput Thyrsi serviva diversi abitati nel territorio (cfr. relazione, 7.Potenziale archeologico). Proseguendo nel sentiero prima dell'ingresso all'area dell'aerogeneratore BT09 e a seguire sino all'aerogeneratore BT10, vegetazione erbacea alta, foraggiere e gruppi isolati di vegetazione arborea (sughere).
		RCGT	Situazione ambientale	
		RCGE	Motivo	verifica preventiva
		RCGM	Metodo	sistematico
		RCGR	Ente responsabile	SABAP SS e NU
		RCGA	Responsabile scientifico	Manca di Mores, Giuseppina
		RCGZ	Note	Lato sinistro: visibilità bassa permanente. Lato destro: visibilità bassa temporanea.
GE			GEOREFERENZIAZIONE	
	GEL		Tipo di localizzazione	localizzazione fisica
	GET		Tipo di georeferenziazione	georeferenziazione lineare
	GEP		Sistema di riferimento	WGS84
	GEC		COORDINATE	
		GECX	Coordinata x	9.402540
		GECY	Coordinata y	40.544644
		GECS	Note	inizio UR
		GECX	Coordinata x	9.404157
		GECY	Coordinata y	40.540932
		GECS	Note	fine UR
	GPT		Tecnica di georeferenziazione	rilievo tramite GPS
	GPM		Metodo di posizionamento	posizionamento esatto



	VRP		VALUTAZIONE DEL POTENZIALE ARCHEOLOGICO	
		VRPS	Valutazione di sintesi	4. potenziale medio
UR33	TAV. XXXIX			
		RCGV	Denominazione ricognizione	Terenass - Aerogeneratore BT01 - UR33
		RCGD	Riferimento cronologico	19/06 - 5/07/2020
		RCGT	Situazione ambientale	Survey nell'areale di 100 m di raggio e oltre in corrispondenza dell'ubicazione dell'aerogeneratore BT01. Vegetazione coprente arbustiva con rari alberi a basso fusto. Ai lati del sentiero sterrato che permette di raggiungere la base di un leggero rilievo sulla cui sommità è l'ubicazione della macchina, la vegetazione arbustiva e erbacea conferisce visibilità bassa al terreno, che, comunque indagato, non restituisce informazioni relative a presenze antropiche antiche. Nel punto esatto del posizionamento della macchina la vegetazione è coprente permanente, con arbusti e macchia mediterranea.
		RCGE	Motivo	verifica preventiva
		RCGM	Metodo	sistematico
		RCGR	Ente responsabile	SABAP SS e NU
		RCGA	Responsabile scientifico	Manca di Mores, Giuseppina
		RCGZ	Note	Visibilità bassa permanente
GE			GEOREFERENZIAZIONE	
	GEL		Tipo di localizzazione	localizzazione fisica
	GET		Tipo di georeferenziazione	georeferenziazione puntuale
	GEP		Sistema di riferimento	WGS84
	GEC		COORDINATE	
		GECX	Coordinata x	9.463958
		GECY	Coordinata y	40.583863
		GECS	Note	baricentro aerogeneratore
	GPT		Tecnica di georeferenziazione	rilievo tramite GPS
	GPM		Metodo di posizionamento	posizionamento esatto
	VRP		VALUTAZIONE DEL POTENZIALE ARCHEOLOGICO	
		VRPS	Valutazione di sintesi	2. potenziale molto basso
UR34	TAV. XL			
	RCG		RICOGNIZIONE ARCHEOLOGICA	
		RCGV	Denominazione ricognizione	Terenass - Aerogeneratore BT02 - UR34
		RCGD	Riferimento cronologico	19/06 - 5/07/2020



				Survey nell'areale di 100 m di raggio e oltre in corrispondenza dell'ubicazione dell'aerogeneratore BT02. Vegetazione coprente erbosa; erba secca, ferula, cardi, macchia mediterranea e roverelle. Zone di pietrame sparso di piccole, medie e grandi dimensioni. Non si segnalano evidenze archeologiche.
		RCGT	Situazione ambientale	
		RCGE	Motivo	verifica preventiva
		RCGM	Metodo	sistematico
		RCGR	Ente responsabile	SABAP SS e NU
		RCGA	Responsabile scientifico	Manca di Mores, Giuseppina
		RCGZ	Note	visibilità bassa temporanea
GE			GEOREFERENZIAZIONE	
	GEL		Tipo di localizzazione	localizzazione fisica
	GET		Tipo di georeferenziazione	georeferenziazione puntuale
	GEP		Sistema di riferimento	WGS84
	GEC		COORDINATE	
		GECX	Coordinata x	9.455539
		GECY	Coordinata y	40.580650
		GECS	Note	baricentro aerogeneratore
	GPT		Tecnica di georeferenziazione	rilievo tramite GPS
	GPM		Metodo di posizionamento	posizionamento esatto
	VRP		VALUTAZIONE DEL POTENZIALE ARCHEOLOGICO	
		VRPS	Valutazione di sintesi	3. potenziale basso
UR35	TAV. XLI			
	RCG		RICOGNIZIONE ARCHEOLOGICA	
		RCGV	Denominazione ricognizione	Terenass - Aerogeneratore BT03 - UR35
		RCGD	Riferimento cronologico	19/06 - 5/07/2020



				Survey nell'areale di 100 m di raggio e oltre in corrispondenza dell'ubicazione dell'aerogeneratore BT03. Si osserva molto pietrame sparso di piccola pezzatura sulla leggera collina dietro la casa, presso il traliccio dell'energia elettrica. Vegetazione erbacea bassa, visibilità buona, cespugli macchia mediterranea. Verso nord, vegetazione erbacea coprente. Nell'area a sud-ovest dell'ubicazione dell'aerogeneratore si apprezza un'area di spietramento con pietre di grandi dimensioni. Anche se sul terreno, in questo punto coperto anche da vegetazione arbustiva, non appaiono chiari allineamenti, si segnala cautela, anche con riferimento alla segnalazione, nella fotointerpretazione, di possibili anomalie ad andamento circolare. Nella parte più alta della leggera altura, buona visibilità data da rada vegetazione di cardi e dove il terreno non sembra suggerire evidenze degne di nota. Altra parte dell'area, nel rientrare verso la casa, ha copertura erbacea totalmente coprente.
		RCGT	Situazione ambientale	
		RCGE	Motivo	verifica preventiva
		RCGM	Metodo	sistematico
		RCGR	Ente responsabile	SABAP SS e NU
		RCGA	Responsabile scientifico	Manca di Mores, Giuseppina
		RCGZ	Note	Visibilità bassa temporanea
GE			GEOREFERENZIAZIONE	
	GEL		Tipo di localizzazione	localizzazione fisica
	GET		Tipo di georeferenziazione	georeferenziazione puntuale
	GEP		Sistema di riferimento	WGS84
	GEC		COORDINATE	
		GECX	Coordinata x	9.446842
		GECY	Coordinata y	40.583012
		GECS	Note	baricentro aerogeneratore
	GPT		Tecnica di georeferenziazione	rilievo tramite GPS
	GPM		Metodo di posizionamento	posizionamento esatto
	VRP		VALUTAZIONE DEL POTENZIALE ARCHEOLOGICO	
		VRPS	Valutazione di sintesi	4. potenziale medio
UR36	TAV. XLII			
	RCG		RICOGNIZIONE ARCHEOLOGICA	
		RCGV	Denominazione ricognizione	Terensass - Aerogeneratore BT04 - UR36
		RCGD	Riferimento cronologico	19/06 - 5/07/2020



				Survey nell'areale di 100 m di raggio e oltre in corrispondenza dell'ubicazione dell'aerogeneratore BT04. Inizio cavidotto -a sx viale ingresso: vegetazione coprente di foraggiere falciate e ancora sul campo. A dx del viottolo, situazione analoga appena meno compatta. L'areale dei complessivi 200 m dell'aerogeneratore 8, ubicata sul retro della fattoria lungo il pendio collinare, è area pascolativa con vegetazione erbacea coprente e vegetazione arborea molto rada.
		RCGT	Situazione ambientale	
		RCGE	Motivo	verifica preventiva
		RCGM	Metodo	sistematico
		RCGR	Ente responsabile	SABAP SS e NU
		RCGA	Responsabile scientifico	Manca di Mores, Giuseppina
		RCGZ	Note	visibilità: bassa temporanea
GE			GEOREFERENZIAZIONE	
	GEL		Tipo di localizzazione	localizzazione fisica
	GET		Tipo di georeferenziazione	georeferenziazione lineare
	GEP		Sistema di riferimento	WGS84
	GEC		COORDINATE	
		GECX	Coordinata x	9.434270
		GECY	Coordinata y	40.581822
		GECS	Note	baricentro aerogeneratore
	GPT		Tecnica di georeferenziazione	rilievo tramite GPS
	GPM		Metodo di posizionamento	posizionamento esatto
	VRP		VALUTAZIONE DEL POTENZIALE ARCHEOLOGICO	
		VRPS	Valutazione di sintesi	2. potenziale molto basso
UR37	TAV. XLIII			
	RCG		RICOGNIZIONE ARCHEOLOGICA	
		RCGV	Denominazione ricognizione	Terenass - Aerogeneratore BT05 -UR37
		RCGD	Riferimento cronologico	19/06 - 5/07/2020
				Survey nell'areale di 100 m di raggio e oltre in corrispondenza dell'ubicazione dell'aerogeneratore BT05: macchia mediterranea, vegetazione arbustiva ed erbacea fitta, sia a bordo della strada di accesso che nell'area di ubicazione della macchina. Non si segnalano evidenze archeologiche.
		RCGT	Situazione ambientale	
		RCGE	Motivo	verifica preventiva
		RCGM	Metodo	sistematico
		RCGR	Ente responsabile	SABAP SS e NU
		RCGA	Responsabile scientifico	Manca di Mores, Giuseppina
		RCGZ	Note	Visibilità bassa permanente
GE			GEOREFERENZIAZIONE	
	GEL		Tipo di localizzazione	localizzazione fisica